

В. А. Осадчук

**МЕТОД ДИСТОРСИЙ В ЗАДАЧАХ
ОБ УПРУГОМ РАВНОВЕСИИ
ОБОЛОЧЕК С РАЗРЕЗАМИ (ТРЕЩИНАМИ)**

В связи с определенными математическими трудностями, как это неоднократно отмечалось в литературе, теория трещин применительно к оболочкам разработана очень мало; некоторые решения задач получены лишь в последнее время. В данной работе изложен эффективный метод, позволяющий сводить задачи о напряженно-деформированном состоянии оболочек с разрезами (трещинами) к решению систем сингулярных интегральных уравнений. При этом исходными могут быть уравнения теории оболочек, базирующейся на гипотезах Кирхгофа — Лява, а также уточненных классических теорий, в частности теории оболочек с конечной сдвиговой жесткостью. Метод основан на том, что вместо оболочки с разрезами рассматривается сплошная оболочка, находящаяся под действием дисторсий, описывающих скачки перемещений и углов поворота на линиях, соответствующих разрезам.

Дисторсии в теории оболочек. Приведем основные соотношения линейной теории тонких упругих оболочек, напряженное состояние которых обусловлено заданным тензором дисторсии — симметричным тензором второго ранга, несовместность которого приводит к возникновению собственных напряжений. При получении этих соотношений воспользуемся следующим представлением компонентов тензора $\{e_{ij}\}$ геометрически малой деформации тела, находящегося под воздействием поля дисторсий [7, 8]:

$$e_{ij} = e_{ij}^s + e_{ij}^0 \quad (i, j = 1, 2, 3). \quad (1)$$

Здесь e_{ij}^0 — компоненты тензора дисторсии; e_{ij}^s — компоненты тензора упругой деформации, вызванные действием собственных напряжений σ_{ij} так, что

$$e_{ij}^s = \frac{1}{2G} \left(\sigma_{ij} - \frac{\nu}{1+\nu} \sigma_{\alpha\alpha} \delta_{ij} \right), \quad (2)$$

где G — модуль сдвига; ν — коэффициент Пуассона; δ_{ij} — символ Кронекера.

Рассмотрим тонкую оболочку, отнесенную к триортогональной системе координатных линий $(\alpha_1, \alpha_2, \gamma)$, являющихся соответственно линиями главных кривизн срединной поверхности и внешней нормалью к ней. Для такой оболочки в соответствии с допущениями классической теории Кирхгофа — Лява

$$e_{13} = e_{23} = e_{33} = 0, \quad \sigma_{33} = 0 \quad (3)$$

на основании соотношений (1) имеем

$$e_{ij} = e_{ij}^s + e_{ij}^0 \quad (i, j = 1, 2). \quad (4)$$

При этом компоненты упругой деформации e_{ij}^s связаны с напряжениями соотношениями

$$e_{ii}^s = \frac{1}{E} (\sigma_{ii} - \nu \sigma_{jj}), \quad i \neq j = 1, 2, \quad e_{12}^s = \frac{2(1+\nu)}{E} \sigma_{12}, \quad (5)$$

где E — модуль Юнга. Индексы 1, 2, 3 соответствуют индексам $\alpha_1, \alpha_2, \gamma$.

Решая уравнение (5) относительно компонентов напряжений и используя соотношения (4), находим

$$\sigma_{ii} = \frac{E}{1-\nu^2} [(e_{ii} + \nu e_{jj}) - (e_{ii}^0 + \nu e_{jj}^0)] \quad (i \neq j = 1, 2), \quad (6)$$

$$\sigma_{12} = \frac{E}{2(1+\nu)} (e_{12} - e_{12}^0).$$

Формулы, связывающие компоненты деформации e_{ij} в произвольной точке оболочки с компонентами деформации ее срединной поверхности, запишем в виде [2, 17]

$$e_{ij} = \frac{\varepsilon_{ij} + \kappa_{ij}\gamma}{1 + k_i\gamma} \quad (j = 1, 2), \quad e_{12} = \sum_{i=1}^2 \frac{\omega_i + \tau_i\gamma}{1 + k_i\gamma}, \quad (7)$$

где

$$\begin{aligned} \varepsilon_{11} &= \frac{1}{A_1} \frac{\partial u}{\partial \alpha_1} + \frac{v}{A_1 A_2} \frac{\partial A_1}{\partial \alpha_2} + k_1 w; & \varepsilon_{22} &= \frac{1}{A_2} \frac{\partial v}{\partial \alpha_2} + \frac{u}{A_1 A_2} \frac{\partial A_2}{\partial \alpha_1} + k_2 w; \\ \kappa_{11} &= -\frac{1}{A_1} \frac{\partial \theta_1}{\partial \alpha_1} - \frac{\theta_2}{A_1 A_2} \frac{\partial A_1}{\partial \alpha_2}; & \kappa_{22} &= -\frac{1}{A_2} \frac{\partial \theta_2}{\partial \alpha_2} - \frac{\theta_1}{A_1 A_2} \frac{\partial A_2}{\partial \alpha_1}; \\ \theta_1 &= \frac{1}{A_1} \frac{\partial w}{\partial \alpha_1} - k_1 u; & \theta_2 &= \frac{1}{A_2} \frac{\partial w}{\partial \alpha_2} - k_2 v; \\ \omega_1 &= \frac{1}{A_1} \frac{\partial v}{\partial \alpha_1} - \frac{u}{A_1 A_2} \frac{\partial A_1}{\partial \alpha_2}; & \omega_2 &= \frac{1}{A_2} \frac{\partial u}{\partial \alpha_2} - \frac{v}{A_1 A_2} \frac{\partial A_2}{\partial \alpha_1}; \\ \tau_1 &= -\frac{1}{A_1} \frac{\partial \theta_2}{\partial \alpha_1} + \frac{\theta_1}{A_1 A_2} \frac{\partial A_2}{\partial \alpha_2}; & \tau_2 &= -\frac{1}{A_2} \frac{\partial \theta_1}{\partial \alpha_2} + \frac{\theta_2}{A_1 A_2} \frac{\partial A_1}{\partial \alpha_1}; \end{aligned} \quad (8)$$

$A_1, A_2, u, v, w, k_1, k_2$ — соответственно коэффициенты Ляме, перемещения и главные кривизны срединной поверхности оболочки; θ_1, θ_2 — углы поворота нормали к срединной поверхности.

Используя соотношения (6) — (8), для удельной работы деформации тонкой оболочки [3, 17] получаем выражение

$$\begin{aligned} V &= \frac{Eh}{1-\nu^2} \left\{ (\varepsilon_{11} + \varepsilon_{22})^2 - 2(1-\nu) (\varepsilon_{11}\varepsilon_{22} - \frac{1}{4}\varepsilon_{12}^2) + \frac{h^2}{3} [(\kappa_{11} + \kappa_{22})^2 - \right. \\ &\quad \left. - 2(1-\nu) (\kappa_{11}\kappa_{22} - \kappa_{12}^2)] - 2[\varepsilon_{11}(\varepsilon_{11}^0 + \nu\varepsilon_{22}^0) + \varepsilon_{22}(\varepsilon_{22}^0 + \nu\varepsilon_{11}^0) + \right. \\ &\quad \left. + \frac{1-\nu}{2}\varepsilon_{12}\varepsilon_{12}^0] - \frac{2h^2}{3} [\kappa_{11}(\kappa_{11}^0 + \nu\kappa_{22}^0) + \kappa_{22}(\kappa_{22}^0 + \nu\kappa_{11}^0) + 2(1-\nu) \times \right. \\ &\quad \left. \times \kappa_{12}\kappa_{12}^0] \right\}, \quad (9) \end{aligned}$$

где

$$\begin{aligned} \varepsilon_{12} &= \omega_1 + \omega_2; & \kappa_{12} &= \tau_1 + k_1\omega_2 = \tau_2 + k_2\omega_1; \\ \varepsilon_{ij}^0 &= \frac{1}{2h} \int_{-h}^h e_{ij}^0 d\gamma \quad (i, j = 1, 2); \\ \kappa_{ij}^0 &= \frac{3}{2h^3} \int_{-h}^h e_{ij}\gamma d\gamma \quad (j = 1, 2); & 2\kappa_{12}^0 &= \frac{3}{2h^3} \int_{-h}^h e_{12}\gamma d\gamma; \end{aligned} \quad (10)$$

h — полутолщина оболочки.

На основании выражения для удельной работы (9) и ее дифференциала [17]

$$dV = N_1 d\varepsilon_{11} + S_{12} d\varepsilon_{12} + N_2 d\varepsilon_{22} + M_1 d\kappa_{11} + 2H_{12} d\kappa_{12} + M_2 d\kappa_{22}$$

устанавливаем связь между усилиями N_1, N_2, S_{12} , моментами M_1, M_2, H_{12} , компонентами деформации срединной поверхности $\varepsilon_{ij}, \kappa_{ij}$ и компонентами тензора дисторсии $\varepsilon_{ij}^0, \kappa_{ij}^0$:

$$\begin{aligned} N_i &= B [\varepsilon_{ii} + \nu\varepsilon_{jj} - (\varepsilon_{ii}^0 + \nu\varepsilon_{jj}^0)], \\ M_i &= D_i [\kappa_{ii} + \nu\kappa_{jj} - (\kappa_{ii}^0 + \nu\kappa_{jj}^0)] \quad (i \neq j = 1, 2), \\ S_{12} &= \frac{B}{2} (1-\nu) (\varepsilon_{12} - \varepsilon_{12}^0), \quad H_{12} = D_1 (1-\nu) (\kappa_{12} - \kappa_{12}^0), \end{aligned} \quad (11)$$

где

$$B = \frac{2Eh}{1-\nu^2}; \quad D_1 = \frac{2Eh^3}{3(1-\nu^2)}.$$

Используя выражения (11), компоненты деформации срединной поверхности представим в виде

$$\varepsilon_{ij} = \varepsilon_{ij}^s + \varepsilon_{ij}^0, \quad \kappa_{ij} = \kappa_{ij}^s + \kappa_{ij}^0. \quad (12)$$

Здесь

$$\begin{aligned} \varepsilon_{ii}^s &= \frac{1}{2Eh} (N_i - \nu N_j), \quad \kappa_{ii}^s = \frac{3}{2Eh^3} (M_i - \nu M_j) \quad i \neq j = 1, 2; \\ \varepsilon_{i2}^s &= \frac{1+\nu}{Eh} S_{i2}, \quad \kappa_{i2}^s = \frac{3}{2Eh^3} (1+\nu) H_{i2}. \end{aligned} \quad (13)$$

Введем дифференциальные операторы L_{ij}^0 , L_{33}^0 , действующие на некоторые функции Φ_k , следующим образом:

$$\begin{aligned} L_{ij}^0(\Phi_1, \Phi_2, \Phi_3, \Phi_4, \Phi_5, \Phi_6) &= \frac{\partial}{\partial \alpha_i} (A_j \Phi_1) - \frac{\partial A_j}{\partial \alpha_i} \Phi_2 + \frac{\partial}{\partial \alpha_j} (A_i \Phi_3) + \\ &+ k_l \left[\frac{\partial}{\partial \alpha_i} (A_j \Phi_4) - \frac{\partial A_j}{\partial \alpha_i} \Phi_5 + 2 \frac{\partial}{\partial \alpha_i} (A_i \Phi_6) + 2 \frac{k_j}{k_i} \frac{\partial A_i}{\partial \alpha_j} \Phi_6 \right], \quad i = j = 1, 2, \end{aligned} \quad (14)$$

$$\begin{aligned} L_{33}^0(\Phi_1, \Phi_2, \Phi_3, \Phi_4, \Phi_5) &= k_1 \Phi_1 + k_2 \Phi_2 - \frac{1}{A_1 A_2} \left\{ \left[\frac{\partial}{\partial \alpha_1} (A_2 \Phi_3) - \frac{\partial A_2}{\partial \alpha_1} \Phi_4 + \right. \right. \\ &\quad \left. \left. + \frac{\partial}{\partial \alpha_2} (A_1 \Phi_5) + \frac{\partial A_1}{\partial \alpha_2} \Phi_5 \right] + \right. \\ &\quad \left. + \frac{\partial}{\partial \alpha_2} \frac{1}{A_2} \left[\frac{\partial}{\partial \alpha_2} (A_1 \Phi_4) - \frac{\partial A_1}{\partial \alpha_2} \Phi_3 + \frac{\partial}{\partial \alpha_1} (A_1 \Phi_5) + \frac{\partial A_2}{\partial \alpha_1} \Phi_5 \right] \right\}. \end{aligned}$$

Тогда уравнения равновесия и совместности деформаций в усилиях и моментах можно представить в виде

$$\begin{aligned} L_{ij}^0(N_i, N_j, S_{ij}, M_i, M_j, H_{ij}) &= -A_i A_j X_{ij}, \quad i \neq j = 1, 2, \\ L_{33}^0(N_1, N_2, M_1, M_2, H_{12}) &= Z, \end{aligned} \quad (15)$$

$$\begin{aligned} L_{ij}^0(\kappa_{ij}^s, \kappa_{ii}^s, -\kappa_{ii}^s, -\varepsilon_{ij}^s, -\varepsilon_{ii}^s, \frac{1}{2} \varepsilon_{ij}^s) &= \\ = -L_{ij}^0(\kappa_{ij}^0, \kappa_{ii}^0, -\kappa_{ii}^0, \varepsilon_{ij}^0, -\varepsilon_{ii}^0, \frac{1}{2} \varepsilon_{ij}^0), \quad i \neq j = 1, 2, \end{aligned} \quad (16)$$

$$L_{33}^0(\kappa_{22}^s, \kappa_{11}^s, -\varepsilon_{22}^s, -\varepsilon_{11}^s, \frac{1}{2} \varepsilon_{12}^s) = -L_{33}^0(\kappa_{22}^0, \kappa_{11}^0, -\varepsilon_{22}^0, -\varepsilon_{11}^0, \frac{1}{2} \varepsilon_{12}^0),$$

где ε_{ij}^s , κ_{ij}^s выражаются через усилия и моменты по формулам (13); X_{ij} , Z —компоненты вектора интенсивности заданной внешней поверхностной нагрузки.

Если в уравнения (15) подставить выраженные через перемещения с помощью соотношений (8), (10) усилия и моменты (11), получим систему уравнений равновесия оболочки, находящейся под действием поля дисторсий, в перемещениях:

$$\begin{aligned} L_{ij}^{(1)}u + L_{ij}^{(2)}v + L_{ij}^{(3)}w &= L_{ij}^0 [B(\varepsilon_{ii}^0 + \nu \varepsilon_{jj}^0), B(\varepsilon_{ij}^0 + \nu \varepsilon_{ii}^0), \frac{B}{2}(1-\nu) \varepsilon_{i2}^0, \\ D_1(\kappa_{ii}^0 + \nu \kappa_{jj}^0), D_1(\kappa_{ij}^0 + \nu \kappa_{ii}^0), D_1(1-\nu) \kappa_{i2}^0], \quad i \neq j = 1, 2, \\ L_{33}^{(1)}u + L_{33}^{(2)}v + L_{33}^{(3)}w &= L_{33}^0 [B(\varepsilon_{11}^0 + \nu \varepsilon_{22}^0), B(\varepsilon_{22}^0 + \nu \varepsilon_{11}^0), \\ D_1(\kappa_{11}^0 + \nu \kappa_{22}^0), D_1(\kappa_{22}^0 + \nu \kappa_{11}^0), D_1(1-\nu) \kappa_{12}^0]. \end{aligned} \quad (17)$$

Здесь $L_{ij}^{(s)}$, $L_{33}^{(s)}$ ($s = 1, 2, 3$) — дифференциальные операторы не выше четвертого порядка с переменными коэффициентами. Для круговой цилиндрической оболочки ($A_1 = A_2 = R$, $k_1 = 0$, $k_2 = \frac{1}{R}$) система уравнений (17) принимает вид

$$L_{k1}u + L_{k2}v + L_{k3}w = g_k \quad (k = 1, 2, 3), \quad (18)$$

где

$$\begin{aligned} L_{11} &= \frac{\partial^2}{\partial \alpha_1^2} + \frac{1-\nu}{2} \frac{\partial^2}{\partial \alpha_2^2}; \quad L_{12} = L_{21} = \frac{1+\nu}{2} \frac{\partial^2}{\partial \alpha_1 \partial \alpha_2}; \quad L_{13} = L_{31} = \nu \frac{\partial}{\partial \alpha_1}; \\ L_{22} &= \frac{1-\nu}{2} \frac{\partial^2}{\partial \alpha_1^2} + \frac{\partial^2}{\partial \alpha_2^2} + c_1^2 \left[2(1-\nu) \frac{\partial^2}{\partial \alpha_1^2} + \frac{\partial^2}{\partial \alpha_2^2} \right]; \\ L_{23} &= L_{32} = \frac{\partial}{\partial \alpha_2} \left\{ 1 - c_1^2 \left[(2-\nu) \frac{\partial^2}{\partial \alpha_1^2} + \frac{\partial^2}{\partial \alpha_2^2} \right] \right\}; \\ L_{33} &= 1 + c_1^2 \nabla^2 \nabla^2; \quad \nabla^2 = \frac{\partial^2}{\partial \alpha_1^2} + \frac{\partial^2}{\partial \alpha_2^2}; \quad c_1^2 = \frac{h^2}{3R^2}; \end{aligned} \quad (19)$$

$$\begin{aligned} g_1 &= R \left[\frac{\partial}{\partial \alpha_1} (\varepsilon_{11}^0 + \nu \varepsilon_{22}^0) + \frac{1-\nu}{2} \frac{\partial \varepsilon_{12}^0}{\partial \alpha_2} \right]; \quad g_2 = R \left[\frac{\partial}{\partial \alpha_2} (\varepsilon_{22}^0 + \nu \varepsilon_{11}^0) + \right. \\ &\quad \left. + \frac{1-\nu}{2} \frac{\partial \varepsilon_{12}^0}{\partial \alpha_1} \right] + \frac{h^2}{3} \left[\frac{\partial}{\partial \alpha_2} (\varkappa_{22}^0 + \nu \varkappa_{11}^0) + 2(1-\nu) \frac{\partial \varkappa_{12}^0}{\partial \alpha_1} \right]; \\ g_3 &= R (\varepsilon_{22}^0 + \nu \varepsilon_{11}^0) - \frac{h^2}{3} \left[\frac{\partial^2}{\partial \alpha_1^2} (\varkappa_{11}^0 + \nu \varkappa_{22}^0) + \right. \\ &\quad \left. + 2(1-\nu) \frac{\partial^2 \varkappa_{12}^0}{\partial \alpha_1 \partial \alpha_2} + \frac{\partial^2}{\partial \alpha_2^2} (\varkappa_{22}^0 + \nu \varkappa_{11}^0) \right]; \end{aligned}$$

R — радиус срединной поверхности оболочки.

Учитывая структуру уравнений (15), (16), введем в рассмотрение, следуя В. В. Новожилову [9] и К. Ф. Черных [19], комплексные усилия и моменты

$$\begin{aligned} \tilde{N}_1 &= N_1 - iD_0 a \varkappa_{22}^s, \quad \tilde{N}_2 = N_2 - iD_0 a \varkappa_{11}^s, \quad \tilde{S}_{12} = S_{12} + iD_0 a \varkappa_{12}^s, \\ \tilde{M}_1 &= M_1 + iD_0 a \varepsilon_{22}^s, \quad \tilde{M}_2 = M_2 + iD_0 a \varepsilon_{11}^s, \quad \tilde{H}_{12} = H_{12} - iD_0 a \frac{\varepsilon_{12}^s}{2}, \end{aligned} \quad (20)$$

где $i = \sqrt{-1}$; $a = h/\sqrt{3(1-\nu^2)}$; $D_0 = 2Eh$. Очевидно, что

$$\begin{aligned} N_1 &= \operatorname{Re} \tilde{N}_1, \quad N_2 = \operatorname{Re} \tilde{N}_2, \quad S_{12} = \operatorname{Re} \tilde{S}_{12}, \\ \varkappa_{11}^s &= -\frac{1}{D_0 a} \operatorname{Im} \tilde{N}_2, \quad \varkappa_{22}^s = -\frac{1}{D_0 a} \operatorname{Im} N_1, \quad \varkappa_{12}^s = \frac{1}{D_0 a} \operatorname{Im} \tilde{S}_{12}. \end{aligned} \quad (21)$$

На основании этих выражений и соотношений (11) — (13) записываем

$$\begin{aligned} M_i &= -a \operatorname{Im} (\tilde{N}_i + \nu \tilde{N}_i), \quad \varepsilon_{ii}^s = \frac{1}{D_0} \operatorname{Re} (\tilde{N}_i - \nu \tilde{N}_i), \quad i \neq j = 1, 2, \\ H_{12} &= a(1-\nu) \operatorname{Im} \tilde{S}_{12}, \quad \varepsilon_{12}^s = \frac{2(1+\nu)}{D_0} \operatorname{Re} \tilde{S}_{12}. \end{aligned} \quad (22)$$

Умножив каждое из уравнений совместности (16) на $-iD_0a$ и сложив их с уравнениями равновесия, получим систему уравнений в комплексных усилиях и моментах:

$$L_{kj}^0(\bar{N}_k, \bar{N}_i, \bar{S}_{kj}, \bar{M}_k, \bar{M}_j, \bar{H}_{kj}) = -A_k A_j X_k + \\ + iD_0a \left(\kappa_{ij}^0, \kappa_{kk}^0, -\kappa_{kj}^0, \varepsilon_{ij}^0, -\varepsilon_{kk}^0, \frac{1}{2} \varepsilon_{ki}^0 \right), \quad k \neq j = 1, 2, \quad (23)$$

$$L_{33}^0(\bar{N}_1, \bar{N}_2, \bar{M}_1, \bar{M}_2, \bar{H}_{12}) = Z + iD_0a L_{33}^0 \left(\kappa_{22}^0, \kappa_{11}^0, -\varepsilon_{12}^0, -\varepsilon_{11}^0, \frac{\varepsilon_{12}^0}{2} \right).$$

Если теперь заменить в этих уравнениях комплексные моменты их выражениями через усилия (22) и ввести комплексную функцию Новожилова, после преобразований, аналогичных [19], получим систему уравнений в комплексных усилиях. Так, для круговой цилиндрической оболочки, находящейся под действием поля дисторсий, основное комплексное уравнение имеет вид

$$\left(\nabla^2 \nabla^2 + \frac{\partial^2}{\partial \alpha_2^2} + i2b^2 \frac{\partial^2}{\partial \alpha_1^2} \right) \bar{N} = -D_0 \left\{ (\nabla^2 + 1 + i\mu \nabla^2) \left(\frac{\partial^2}{\partial \alpha_2^2} \varepsilon_{11}^0 - \right. \right. \\ \left. \left. - \frac{\partial^2}{\partial \alpha_1 \partial \alpha_2} \varepsilon_{12}^0 \right) + \nabla^2 \frac{\partial^2}{\partial \alpha_1^2} \varepsilon_{22}^0 + R \left[\left(\frac{\partial^2}{\partial \alpha_1^2} - i\mu \nabla^2 \frac{\partial^2}{\partial \alpha_2^2} \right) \kappa_{11}^0 + \right. \right. \\ \left. \left. + 2i\mu \nabla^2 \frac{\partial^2}{\partial \alpha_1 \partial \alpha_2} \kappa_{12}^0 + (1 - i\mu \nabla^2) \frac{\partial^2}{\partial \alpha_1^2} \kappa_{22}^0 \right] \right\}, \quad (24)$$

где $2b^2 = \frac{R}{a}$, $\mu = \frac{1-\nu}{2b^2}$. При этом комплексные усилия \bar{N}_1 и \bar{N}_2 выражаются через основную функцию \bar{N} соотношениями

$$\bar{N}_2 = \frac{i}{2b^2} \nabla^2 \bar{N} + \frac{iD_0}{2b^2} \left[\frac{\partial^2}{\partial \alpha_1^2} \varepsilon_{22}^0 + (1 + i\mu) \frac{\partial^2}{\partial \alpha_2^2} \varepsilon_{11}^0 - (1 + i\mu) \frac{\partial^2}{\partial \alpha_1 \partial \alpha_2} \varepsilon_{12}^0 + \right. \\ \left. + R \left(1 - i\mu \frac{\partial^2}{\partial \alpha_2^2} \right) \kappa_{11}^0 - i\mu R \left(\frac{\partial^2}{\partial \alpha_1^2} \kappa_{22}^0 - 2 \frac{\partial^2}{\partial \alpha_1 \partial \alpha_2} \kappa_{12}^0 \right) \right], \quad \bar{N}_1 = \bar{N} - \bar{N}_2. \quad (25)$$

Выражения для производных функции \bar{S}_{12} имеют вид

$$\frac{\partial \bar{S}_{12}}{\partial \alpha_1} = -\frac{\partial \bar{N}_2}{\partial \alpha_2} - \frac{ia}{R} \frac{\partial \bar{N}}{\partial \alpha_2} + iD_0a \left[\frac{\partial \kappa_{11}^0}{\partial \alpha_2} - \frac{\partial \kappa_{12}^0}{\partial \alpha_1} - \frac{1}{R} \left(\frac{\partial \varepsilon_{11}^0}{\partial \alpha_2} - \frac{\partial \varepsilon_{12}^0}{\partial \alpha_1} \right) \right], \\ \frac{\partial \bar{S}_{12}}{\partial \alpha_2} = -\frac{\partial \bar{N}_1}{\partial \alpha_1} + iD_0a \left(\frac{\partial \kappa_{22}^0}{\partial \alpha_1} - \frac{\partial \kappa_{12}^0}{\partial \alpha_2} \right). \quad (26)$$

Нетрудно проверить, что они совместны в силу основного уравнения (24).

Пренебрегая в приведенных выше выражениях подчеркнутыми членами, приходим к соотношениям технической теории [2] цилиндрических оболочек.

В теории оболочек с дисторсиями важную роль играет теорема взаимности. Если рассмотреть два различных напряженно-деформированных состояния оболочки, обусловленных двумя системами внешних усилий и полей дисторсий $e_{ij}^{0'}$ и $e_{ij}^{0''}$, нетрудно убедиться в справедливости следующего соотношения:

$$A_{12}^0 + \frac{2Eh}{1-\nu^2} \iint_G \left\{ \varepsilon_{11}^{\prime\prime} (\varepsilon_{11}^{0'} + \nu \varepsilon_{22}^{0'}) + \varepsilon_{22}^{\prime\prime} (\varepsilon_{22}^{0'} + \nu \varepsilon_{11}^{0'}) + \right. \\ \left. + \frac{1-\nu}{2} \varepsilon_{12}^{\prime\prime} \varepsilon_{12}^{0'} + \frac{h^2}{3} \left[\kappa_{11}^{\prime\prime} (\kappa_{11}^{0'} + \nu \kappa_{22}^{0'}) + \kappa_{22}^{\prime\prime} (\kappa_{22}^{0'} + \nu \kappa_{11}^{0'}) + \right. \right. \\ \left. \left. + \kappa_{12}^{\prime\prime} \kappa_{12}^{0'} \right] \right\} A_1 A_2 d\alpha_1 d\alpha_2 = A_{21}^0 + \frac{2Eh}{1-\nu^2} \iint_G \left\{ \varepsilon_{11}^{\prime\prime} (\varepsilon_{11}^{0'} + \nu \varepsilon_{22}^{0'}) + \right.$$

$$\begin{aligned}
& + \varepsilon'_{22} (\varepsilon^{0r}_{22} + \nu \varepsilon^{0r}_{11}) + \frac{1-\nu}{2} \varepsilon'_{12} \varepsilon^{0r}_{12} + \frac{h^2}{3} [\varkappa'_{11} (\varkappa^{0r}_{11} + \nu \varkappa^{0r}_{22}) + \\
& + \varkappa'_{22} (\varkappa^{0r}_{22} + \nu \varkappa^{0r}_{11}) + \varkappa'_{12} \varkappa^{0r}_{12}] \} A_1 A_2 d\alpha_1 d\alpha_2.
\end{aligned} \quad (27)$$

Здесь A^0_{12} (A^0_{21}) — работа внешней нагрузки первого (второго) состояния на перемещениях второго (первого) [17].

Соотношение (27) представляет собой обобщение принципа взаимности Бетти на случай, когда наряду с действием внешних нагрузок напряженное состояние оболочки обусловлено также заданным полем дисторсии. На основании этого соотношения можно получить в квадратурах решение задачи о напряженно-деформированном состоянии оболочки, обусловленном заданным тензором дисторсии, если известно решение соответствующей задачи в случае сосредоточенной поверхностной нагрузки.

Изотропные оболочки с разрезами (трещинами). Рассмотрим упругое равновесие тонкой оболочки с системой сквозных разрезов (длины разрезов велики по сравнению с толщиной оболочки), произвольным образом расположенных вдоль координатных линий. Предположим, что оболочка находится под действием внешней нагрузки и к противоположным берегам разрезов приложены равные по величине и противоположно направленные усилия и моменты. Напряженное состояние такой оболочки можно представить в виде суммы напряженного состояния, вызванного внешней нагрузкой в оболочке без разрезов, и возмущенного — вызванного наличием разрезов (трещин). Напряженное состояние в оболочке без трещин будем считать известным. Граничные условия на контуре разреза l_{pv} , расположенного вдоль линии $\alpha_1 = \alpha_p^0$, в таком случае имеют вид

$$\begin{aligned}
N_1^+ = N_1^- = \hat{N}_1^{'pv}(\alpha_2), \quad S_{12}^+ + 2k_2 H_{12}^+ = S_{12}^- + 2k_2 H_{12}^- = \hat{S}^{'pv}(\alpha_2), \\
Q_1^+ + \frac{1}{A_2} \frac{\partial H_{12}^+}{\partial \alpha_1} = Q_1^- + \frac{1}{A_2} \frac{\partial H_{12}^-}{\partial \alpha_1} = \hat{Q}_1^{*'pv}(\alpha_2), \quad M_1^+ = M_1^- = \hat{M}_1^{'pv}(\alpha_2),
\end{aligned} \quad (28)$$

где Q_1 — перерезывающее усилие; $\hat{N}_1^{'pv}(\alpha_2)$, $\hat{S}^{'pv}(\alpha_2)$, $\hat{Q}_1^{*'pv}(\alpha_2)$, $\hat{M}_1^{'pv}(\alpha_2)$ — заданные при $\alpha_2 \in l_{pv}$ функции; знаками «+» и «-» отмечены граничные значения функций на берегах разреза $\alpha_p^0 + 0$ и $\alpha_p^0 - 0$ соответственно. Аналогично на контуре разреза q_{rs} , расположенного вдоль линии $\alpha_2 = \alpha_r^0$, получаем

$$\begin{aligned}
N_2^+ = N_2^- = \hat{N}_2^{'rs}(\alpha_1), \quad S_{12}^+ + 2k_1 H_{12}^+ = S_{12}^- + 2k_1 H_{12}^- = \hat{S}^{'rs}(\alpha_1), \\
Q_2^+ + \frac{1}{A_1} \frac{\partial H_{12}^+}{\partial \alpha_1} = Q_2^- + \frac{1}{A_1} \frac{\partial H_{12}^-}{\partial \alpha_1} = \hat{Q}_2^{*'rs}(\alpha_1), \quad M_2^+ = M_2^- = \hat{M}_2^{'rs}(\alpha_1).
\end{aligned} \quad (29)$$

Пусть k — общее количество разрезов (трещин) в оболочке. Если обозначить через μ_1 и μ_2 количество линий $\alpha_1 = \alpha_p^0$ и $\alpha_2 = \alpha_r^0$, вдоль каждой из которых расположено m_p и n_r разрезов соответственно, то

$$k = k_1 + k_2, \quad k_1 = \sum_{p=1}^{\mu_1} m_p, \quad k_2 = \sum_{r=1}^{\mu_2} n_r.$$

Рассмотрим наряду с оболочкой с разрезами идентичную оболочку с сосредоточенными на месте линий разрезов дисторсиями. При этом будем требовать такого распределения плотностей дисторсий вдоль указанных линий, чтобы обусловленное ими напряженно-деформированное состояние тождественно совпадало с напряженно-деформированным состоянием в оболочке с разрезами. Тогда, учитывая, что перемещение u , v , w и углы поворота θ_1 , θ_2 претерпевают скачки при переходе через линии разрезов, и рассмат-

ривая их как обобщенные функции [1], на основании соотношений (8), (10), (11), (28), (29) для компонентов тензора дисторсий получаем выражения

$$\begin{aligned}
 \varepsilon_{11}^0 &= \sum_1 \frac{1}{A_1^p} [u(\alpha_2)]_{l_{pv}} \delta(\alpha_1 - \alpha_p^0), \quad \varepsilon_{22}^0 = \sum_2 \frac{1}{A_2^r} [v(\alpha_1)]_{q_{rs}} \delta(\alpha_2 - \alpha_r^0), \\
 \varepsilon_{12}^0 &= \sum_1 \frac{1}{A_1^p} [v(\alpha_2)]_{l_{pv}} \delta(\alpha_1 - \alpha_p^0) + \sum_2 \frac{1}{A_2^r} [u(\alpha_1)]_{q_{rs}} \delta(\alpha_2 - \alpha_r^0), \\
 \kappa_{11}^0 &= - \sum_1 \frac{1}{A_1} \left\{ [\theta_1(\alpha_2)]_{l_{pv}} \delta(\alpha_1 - \alpha_p^0) + \frac{1}{A_1^p} [w(\alpha_2)]_{l_{pv}} \frac{\partial}{\partial \alpha_1} \delta(\alpha_1 - \alpha_p^0) \right\} - \\
 &\quad - \sum_2 \frac{1}{A_1^p (A_2^r)^2} \frac{\partial A_1^r}{\partial \alpha_2} [w(\alpha_1)]_{q_{rs}} \delta(\alpha_2 - \alpha_r^0), \quad (30) \\
 \kappa_{22}^0 &= - \sum_2 \frac{1}{A_2} \left\{ [\theta_2(\alpha_1)]_{q_{rs}} \delta(\alpha_2 - \alpha_r^0) + \frac{1}{A_2^r} [w(\alpha_1)]_{q_{rs}} \frac{\partial}{\partial \alpha_2} \delta(\alpha_2 - \alpha_r^0) \right\} - \\
 &\quad - \sum_1 \frac{1}{(A_1^p)^2 A_2^r} \frac{\partial A_2^p}{\partial \alpha_1} [w(\alpha_2)]_{l_{pv}} \delta(\alpha_1 - \alpha_p^0), \\
 \kappa_{12}^0 &= - \sum_1 \left\{ \frac{1}{A_1^p} \frac{\partial}{\partial \alpha_2} \frac{1}{A_1^p} [w(\alpha_2)]_{l_{pv}} - \frac{k_2^p}{A_1^p} [v(\alpha_2)]_{l_{pv}} \right\} \delta(\alpha_1 - \alpha_p^0) - \\
 &\quad - \sum_2 \left\{ \frac{1}{A_1^p} \frac{\partial}{\partial \alpha_1} \frac{1}{A_2^r} [w(\alpha_1)]_{q_{rs}} - \frac{k_1^r}{A_2^r} [u(\alpha_1)]_{q_{rs}} \right\} \delta(\alpha_2 - \alpha_r^0).
 \end{aligned}$$

Здесь и далее

$$\begin{aligned}
 [f(\alpha_2)]_{l_{pv}} &= f_{l_{pv}}^+(\alpha_p^0 + 0, \alpha_2) - f_{l_{pv}}^-(\alpha_p^0 - 0, \alpha_2) \quad \forall \alpha_2 : \alpha_2 \in l_{pv}, \\
 [f(\alpha_2)]_{l_{pv}} &= 0 \quad \forall \alpha_2 : \alpha_2 \notin l_{pv}, \quad (31)
 \end{aligned}$$

$$[f(\alpha_1)]_{q_{rs}} = f_{q_{rs}}^+(\alpha_1, \alpha_r^0 + 0) - f_{q_{rs}}^-(\alpha_1, \alpha_r^0 - 0) \quad \forall \alpha_1 : \alpha_1 \in q_{rs},$$

$[f(\alpha_1)]_{q_{rs}} = 0 \quad \forall \alpha_1 : \alpha_1 \notin q_{rs}$ ($f = u, v, w, \theta_1, \theta_2$) — скачки перемещений и углов поворота при переходе через контуры разрезов l_{pv} и q_{rs} соответственно,

$$A_j^p = A_j |_{\alpha_1 = \alpha_p^0}, \quad A_j^r = A_j |_{\alpha_2 = \alpha_r^0} \quad (j = 1, 2), \quad k_1^r = k_1 |_{\alpha_2 = \alpha_r^0},$$

$$k_2^p = k_2 |_{\alpha_1 = \alpha_p^0}, \quad \sum_1 = \sum_{p=1}^{\mu_1} \sum_{v=1}^{m_p}, \quad \sum_2 = \sum_{r=1}^{\mu_2} \sum_{s=1}^{n_r},$$

$\delta(\alpha - \alpha_j^0)$ — функция Дирака.

Подставив выражение (30) в уравнения (15) — (17), получим систему разрешающих дифференциальных уравнений в усилиях, моментах и перемещениях, учитывающих наличие в оболочках разрезов (трещин). Рассмотрим далее такую систему уравнений, записанных в перемещениях. Обозначим через

$$U_{pv}^{i*} (U_{pv}^{1*} = u_{pv}^*, U_{pv}^{2*} = v_{pv}^*, U_{pv}^{3*} = w_{pv}^*), \quad U_{rs}^{i*} (U_{rs}^{1*} = u_{rs}^*, U_{rs}^{2*} = v_{rs}^*, U_{rs}^{3*} = w_{rs}^*)$$

решение этой системы в случае, когда в правых частях уравнений вместо скачков перемещений и углов поворота на линиях l_{pv} и q_{rs} заданы соответствующие сосредоточенные факторы. Тогда формулы для определения перемещений в произвольной точке оболочки, вызванных скачками перемещений и углов поворота на линиях разрезов, могут быть записаны в квадратурах

$$\begin{aligned}
 U^i(\alpha_1, \alpha_2) &= \sum_1 \int_{l_{pv}} U_{pv}^{i*}(\alpha_1, \alpha_2, \zeta_{pv}) [f(\zeta_{pv})]_{l_{pv}} d\zeta_{pv} + \\
 &\quad + \sum_2 \int_{q_{rs}} U_{rs}^{i*}(\alpha_1, \alpha_2, \zeta_{rs}) [f(\zeta_{rs})]_{q_{rs}} d\zeta_{rs} \quad (U^1 = u, U^2 = v, U^3 = w). \quad (32)
 \end{aligned}$$

На основании выражений для перемещений (32) по соответствующим формулам определяем усилия и моменты в оболочке, вызванные произвольным распределением скачков перемещений и углов поворота вдоль разрезов. Если затем к найденным величинам усилий и моментов прибавить их значения в оболочке без разрезов и требовать, чтобы суммарные величины удовлетворяли заданным на берегах разрезов условиям (28), (29), получим систему $4k$ сингулярных интегральных уравнений для нахождения функций, определяющих скачки перемещений и углов поворота. Таким образом, задача об упругом равновесии оболочки с разрезами сводится к решению системы интегральных уравнений.

Пример 1. *Цилиндрическая оболочка с периодической системой параллельных разрезов (трещин).* Рассмотрим замкнутую бесконечную цилиндрическую оболочку с системой k параллельных периодически расположенных продольных разрезов ($|\alpha| \leq \alpha_0$, $\beta = 2n \frac{\pi}{k}$, $n = 0, \pm 1, \pm 2, \dots, \pm \frac{k}{2}$ при k четном, $n = 0, \pm 1, \pm 2, \dots, \pm \frac{k-1}{2}$ при k нечетном), центры которых находятся на окружности $\alpha = 0$. Здесь $\alpha = \alpha_1$, $\beta = \alpha_2$, $\alpha_0 = l/R$ (l — полудлина разреза).

Предположим, что напряженно-деформированное состояние оболочки без разрезов (трещин) осесимметрично и берега разрезов свободны от нагрузок. Тогда напряженное состояние оболочки с k разрезами будет циклически симметричным. С учетом этого далее будем рассматривать цилиндрическую панель $|\beta| \leq \frac{\pi}{k}$ с трещиной $|\alpha| \leq \alpha_0$, $\beta = 0$. В этом случае поле distortий (30) принимает вид

$$\begin{aligned} \varepsilon_{11}^0 = \varepsilon_{12}^0 = \kappa_{11}^0 = \kappa_{12}^0 = 0, \\ \varepsilon_{22}^0 = \frac{1}{R} [v(\alpha)] \delta(\beta), \quad \kappa_{22}^0 = -\frac{1}{R} [\theta_2(\alpha)] \delta(\beta), \end{aligned} \quad (33)$$

где

$$\begin{aligned} [v(\alpha)] &= v^+(\alpha, +0) - v^-(\alpha, -0) \quad \forall \alpha: |\alpha| < \alpha_0; \\ [\theta_2(\alpha)] &= \theta_2^+(\alpha, +0) - \theta_2^-(\alpha, 0) \quad \forall \alpha: |\alpha| < \alpha_0; \\ [v(\alpha)] &= [\theta_2(\alpha)] = 0 \quad \forall \alpha: |\alpha| \geq \alpha_0. \end{aligned}$$

Подставляя теперь выражения (33) в (19), а затем полученные соотношения для g_k — в систему уравнений (18) и учитывая условия циклической симметрии

$$v = 0, \quad \frac{\partial w}{\partial \beta} = 0 \quad \text{при } \beta \pm \frac{\pi}{k},$$

решение этих уравнений, затухающее на бесконечности, записываем в виде

$$f = R(L_{2f}\Phi_2 + P_{2f}\Psi_2), \quad f = u, v, w. \quad (34)$$

Здесь

$$\begin{aligned} L_{2u} &= \partial_1 [(v\partial_1^2 - \partial_2^2) \nabla^2 \nabla^2 - L\partial_2^2], \quad P_{2u} = \partial_1 (v^2\partial_1^4 - \partial_2^4 - \partial_2^2) - \\ &- c_1^2 (1 - v^2) \partial_1^5 \partial_2^2; \quad L_{2v} = \partial_2 P \nabla^2 \nabla^2 + \partial_2 \{ \partial_2^2 P + 2\partial_1^2 [L + v(2 - v) \partial_1^2] \}; \\ P_{2v} &= \partial_2 (P_1 P + P + v\partial_1^2) + c_1^2 (1 - v) \partial_1^4 \partial_2 (\nabla^2 + \partial_1^2 - v\partial_2^2); \\ L_{2w} &= c^{-2} \partial_1^4 + \partial_2^2 [(4 - v^2) \partial_1^4 + (4\partial_1^2 + \partial_2^2) (\partial_2^2 + 1)]; \\ P_{2w} &= -P_1 \nabla^2 \nabla^2 - P \partial_2^2; \quad L = (2 - v) \partial_1^2 + \partial_2^2; \quad P_1 = v\partial_1^2 + \partial_2^2; \\ P &= (2 + v) \partial_1^2 + \partial_2^2; \quad \partial_1 \equiv \frac{\partial}{\partial \alpha}; \quad \partial_2 \equiv \frac{\partial}{\partial \beta}; \quad c^2 = \frac{c_1^2}{1 - v^2}; \end{aligned} \quad (35)$$

$$\Phi_2(\alpha, \beta) = \frac{k}{\pi R} \sum_{n=0}^{\infty} \lambda_n \cos kn\beta \int_{-\alpha_0}^{\alpha_0} [v(\zeta)] \Phi_n(\zeta - \alpha) d\zeta;$$

$$\Psi_2(\alpha, \beta) = -\frac{k}{\pi} \sum_{n=0}^{\infty} \lambda_n \cos kn\beta \int_{-\alpha_0}^{\alpha_0} [\theta_2(\zeta)] \Phi_n(\zeta - \alpha) d\zeta;$$

функции $\Phi_n(\zeta - \alpha)$ имеют вид

$$\Phi_0(z) = -\frac{1}{16a_{20}^4} \left[\frac{1}{2a_{20}^3} e^{-a_{20}|z|} (\cos a_{20}z + \sin a_{20}|z|) - \frac{|z|^3}{3} \right],$$

$$\Phi_1(z) = \frac{1}{2(P_{21}^2 + q_{21}^2)} \left\{ \frac{e^{-a_{21}|z|}}{q_{21}(a_{21}^2 + b_{21}^2)} \left[(b_{21}(P_{21}^2 - q_{21}^2) + 2a_{21}P_{21}q_{21}) \cos b_{21}z + \right. \right. \\ \left. \left. + (a_{21}(P_{21}^2 - q_{21}^2) - 2b_{21}q_{21}P_{21}) \sin b_{21}|z| \right] + 2 \left(\frac{P_{21}^2 + q_{21}^2}{12} z^2 + P_{21} \right) |z| \right\}, \quad k = 1,$$

$$\Phi_n(z) = \frac{1}{X_n} \sum_{j=1}^2 \frac{e^{-a_{jn}|z|}}{q_{jn}(a_{jn}^2 + b_{jn}^2)} [(b_{jn}C_{jn} - a_{jn}B_{jn}) \cos b_{jn}z +$$

$$+ (a_{jn}C_{jn} + b_{jn}B_{jn}) \sin b_{jn}|z|], \quad n \geq 2; \quad X_n = 2(C_{1n}^2 + B_{1n}^2),$$

$$C_{1n} = (P_{2n} - P_{1n})^2 + q_{2n}^2 - q_{1n}^2, \quad B_{1n} = 2(P_{2n} - P_{1n})q_{1n}, \quad C_{2n} = (P_{1n} - P_{2n})^2 + \\ + q_{1n}^2 - q_{2n}^2, \quad B_{2n} = 2(P_{1n} - P_{2n})q_{2n},$$

$$P_{jn} = a_{jn}^2 - b_{jn}^2, \quad q_{jn} = 2a_{jn}b_{jn}, \quad \lambda_0 = \frac{1}{2}, \quad \lambda_n = 1 \quad (n \geq 1),$$

a_{jn}, b_{jn} — соответственно мнимая и действительная части корней характеристического уравнения

$$s^8 + 4k^2n^2s^6 + (6k^4n^4 - c^{-2})s^4 + 4k^2n^2(k^2n^2 - 1)^2 + k^4n^4(k^2n^2 - 1)^2 = 0. \quad (36)$$

Выражение для $\Phi_1(\alpha)$ при $k > 1$ имеет аналогичный $\Phi_n(\alpha)$ при $n \geq 2$ вид, поскольку в этом случае уравнение (36) при $n = 1$ не имеет нулевых корней.

Подставляя выражение для перемещений (34) в формулы для определения усилий и моментов (11), записанные с помощью соотношений (8), (10) через перемещения, находим усилия и моменты в оболочке, вызванные произвольным распределением скачков перемещений $[v]$ и углов поворота $[\theta_2]$ на линиях разрезов. Если к найденным усилиям и моментам прибавить усилия и моменты в оболочке без разрезов и потребовать, чтобы суммарные величины удовлетворяли условиям свободных берегов разрезов

$$N_2(\alpha, 0) + N_2^0(\alpha, 0) = 0, \quad M_2(\alpha, 0) + M_2^0(\alpha, 0) = 0 \quad \forall \alpha: |\alpha| \leq \alpha_0, \quad (37)$$

с использованием некоторых результатов работы [4] для определения производных функций $[v]$, $[\theta_2]$ получим систему сингулярных интегральных уравнений

$$\frac{1}{2\pi} \int_{-1}^1 \frac{\Omega_m(u)}{u-s} du = -G_m(s), \quad |s| \leq 1 \quad (m = 1, 2), \quad (38)$$

где

$$\Omega_m(u) = Eh\Phi_m^0(\alpha_0 u); \quad \Phi_1^0 = a_{11}F_1 + a_{12}F_2;$$

$$\Phi_2 = a_{21}F_1 + a_{22}F_2, \quad F_1(\alpha) = \frac{1}{R} \frac{d}{d\alpha} [v(\alpha)], \quad F_2(\alpha) = -Rc \frac{d}{d\alpha} [\theta_2(\alpha)],$$

$$G_m = f_m + \frac{1}{2\pi} \sum_{j=1}^2 \int_{-1}^1 \Omega_j(u) \Psi_{mj}^0[\alpha_0(s-u)] du, \quad f_1 = N_{2s}^0,$$

$$f_2 = \frac{1}{Rc} M_2^0, \quad a_{11} = 1, \quad a_{12} = a_{21} = -\frac{c_1^2 (1-\nu)(3+\nu)}{8c(1+\nu)},$$

$a_{22} = 3 - 2\nu - \nu^2 - \frac{c_1^2}{8}(3 - 4\nu + \nu^2)$ — усилия и моменты на линиях раз-

резов в оболочке без разрезов.

Функции Ψ_{mj}^0 непрерывны для всего множества действительных значений s , u и имеют вид

$$\Psi_{11}^0(z) = k\alpha_0 \left[\frac{1}{kz} - \frac{1}{2} \operatorname{cth} \frac{kz}{2} - \Psi_{11}(z) \right], \quad \Psi_{12}^0(z) = -k\alpha_0 \Psi_{12}(z),$$

$$\Psi_{22}^0(z) = k\alpha_0 \left[\frac{1}{kz} - \frac{1}{2} \operatorname{cth} \frac{kz}{2} - \Psi_{22}(z) \right], \quad \Psi_{21}^0(z) = -k\alpha_0 \Psi_{21}(z),$$

$$\Psi_{11} = \frac{1}{\Delta} (a_{22}k_{11} - a_{21}k_{12}), \quad \Psi_{12} = \frac{1}{\Delta} (a_{11}k_{12} - a_{12}k_{11}),$$

$$\Psi_{21} = \frac{1}{\Delta} (a_{22}k_{21} - a_{21}k_{22}), \quad \Psi_{22} = \frac{1}{\Delta} (a_{11}k_{22} - a_{12}k_{21}), \quad \Delta = a_{11}a_{22} - a_{12}^2,$$

$$K_{11}(z) = \frac{1}{2} \left(1 - \frac{kz}{\operatorname{sh} kz} \right) \operatorname{cth} \frac{kz}{2} - \left(1 - \frac{2t}{P_{21}^2 + Q_{21}^2} - e^{-\frac{|z|}{\sqrt{2c}}} \cos \frac{z}{\sqrt{2c}} \right) \operatorname{sgn} z +$$

$$+ 4 \sum_{n=1}^{\infty} \left[\frac{1}{X_n} \sum_{j=1}^2 \frac{e^{-a_{jn}|z|}}{q_{jn}} (A_{jn}^{(1)} \cos b_{jn}z \operatorname{sgn} z + A_{jn}^{(2)} \sin b_{jn}z) + \right.$$

$$\left. + \frac{1}{2} e^{-kn|z|} \left(\frac{knz}{2} - \operatorname{sgn} z \right) \right], \quad K_{22}(z) = \frac{1}{2} \left[(1-\nu)^2 - \frac{c_1^2}{8} (11 - 12\nu + \nu^2) \right] \times$$

$$\times \left(\frac{kz}{\operatorname{sh} kz} - 1 \right) \operatorname{cth} \frac{kz}{2} - \frac{c_1^2 (1-\nu^2)}{32} \left[\left(\frac{k^3 z^3}{\operatorname{sh}^2 \frac{kz}{2} \operatorname{sh} kz} - 4 \right) \operatorname{cth} \frac{kz}{2} + \right.$$

$$\left. + \frac{k^3 z^3}{3 \operatorname{sh}^2 \frac{kz}{2}} \right] + \frac{1}{32} c_1^2 (5 - 4\nu - \nu^2) \left(\frac{k^2 z^2}{\operatorname{sh}^2 \frac{kz}{2}} - 4 \right) \operatorname{cth} \frac{kz}{2} +$$

$$+ \nu^2 \left(1 - e^{-\frac{|z|}{\sqrt{2c}}} \cos \frac{z}{\sqrt{2c}} \right) \operatorname{sgn} z + 2 \left[\frac{1}{c^2} - 3(1-\nu^2) - c_1^2 (1-\nu)^3 \right] \times$$

$$\times \frac{2t \operatorname{sgn} z}{P_{21}^2 + Q_{21}^2} + 4 \sum_{n=1}^{\infty} \left\{ \frac{1}{X_n} \sum_{j=1}^2 \frac{1}{q_{jn}} e^{-a_{jn}|z|} [A_{jn}^{(3)} \cos b_{jn}z \operatorname{sgn} z + \right.$$

$$+ A_{jn}^{(4)} \sin b_{jn}z] + e^{-kn|z|} \left[-\frac{1}{4} (1-\nu)^2 knz - \frac{1}{2} (1-\nu^2) \operatorname{sgn} z + \right.$$

$$\left. + \frac{c_1^2}{96} ((1-\nu^2) k^3 n^3 z^3 - 3(5-4\nu-\nu^2) k^2 n^2 z^2 \operatorname{sgn} z + 3(11-12\nu+\nu^2) knz) \right\},$$

$$K_{12}(z) = K_1^0(z) - 2(1+c_1^2) \frac{t \operatorname{sgn} z}{P_{21}^2 + Q_{21}^2} + \frac{4}{c} \sum_{n=1}^{\infty} \left\{ \frac{1}{X_n} \sum_{j=1}^2 \frac{e^{-a_{jn}|z|}}{q_{jn}} \times \right.$$

$$\times [D_{jn}^{(1)} \cos b_{jn}z \operatorname{sgn} z + D_{jn}^{(2)} \sin b_{jn}z] + K_2^0(z) \left. \right\},$$

$$K_{21}(z) = K_1^0(z) - 2(1-3c_1^2) \frac{t \operatorname{sgn} z}{P_{21}^2 + Q_{21}^2} +$$

$$+ \frac{4}{c} \sum_{n=1}^{\infty} \left\{ \frac{1}{X_n} \sum_{j=1}^2 \frac{e^{-a_{jn}|z|}}{q_{jn}} [D_{jn}^{(3)} \cos b_{jn}z \operatorname{sgn} z + D_{jn}^{(4)} \sin b_{jn}z] + K_2^0(z) \right\},$$

$$K_1^0(z) = -\frac{c_1^2(1-\nu)}{32c} \left[\left(\frac{k^3 z^3}{\operatorname{sh}^2 \frac{kz}{2} \operatorname{sh} kz} - 4 \right) \operatorname{cth} \frac{kz}{2} + \frac{k^3 z^3}{3 \operatorname{sh}^2 \frac{kz}{2}} + \right. \\ \left. + \frac{c}{32} (5+3\nu)(1-\nu)^2 \left(\frac{k^2 z^2}{\operatorname{sh}^2 \frac{kz}{2}} - 4 \right) \operatorname{cth} \frac{kz}{2} - \frac{c}{16} (11+5\nu)(1-\nu)^2 \times \right. \\ \left. \times \left(\frac{kz}{\operatorname{sh} kz} - 1 \right) \operatorname{cth} \frac{kz}{2} - \nu e^{-\frac{|z|}{\sqrt{2c}}} \sin \frac{z}{\sqrt{2c}} \right], K_2^0(z) = \frac{c_1^2}{96} e^{-kn|z|} \times \\ \times \left[(1-\nu)(knz)^3 - \frac{3(5+3\nu)(1-\nu)}{1+\nu} (knz)^2 \operatorname{sgn} z + \frac{3(11+5\nu)(1-\nu)}{1+\nu} knz \right], \\ t=1 \text{ при } k=1 \text{ и } t=0 \text{ при } k>1,$$

$$A_{jn}^{(i)} = t_{jn}^{(i)} - 2k^2 n^2 d_{jn}^{(i)} + k^4 n^4 E_{jn}^{(i)}, A_{jn}^{(2+i)} = (1-\nu^2) t_{jn}^{(i)} - \\ - 2k^2 n^2 [2-\nu-\nu^2-c_1^2(1-\nu)] d_{jn}^{(i)} + \left[(5-4\nu-\nu^2) k^4 n^4 + \frac{1}{c^2} - \right. \\ \left. - c_1^2(1-\nu^2) k^4 n^4 - 4k^2 n^2 (2-\nu-\nu^2) \right] E_{jn}^{(i)} - 2(1-\nu)(1-k^2 n^2)^2 k^2 n^2 B_{jn}^{(i)}, \\ D_{jn}^{(i)} = [\nu + k^2 n^2 c^2 (2-3\nu+\nu^3)] d_{jn}^{(i)} - k^2 n^2 [1+k^2 n^2 c^2 (1-\nu^2)] E_{jn}^{(i)}, \\ D_{jn}^{(2+i)} = D_{jn}^{(i)} + 2k^2 n^2 c^2 (2-\nu-\nu^2) E_{jn}^{(i)}, i=1, 2, B_{jn}^{(1)} = B_{jn}, \\ B_{jn}^{(2)} = C_{jn}, t_{jn}^{(1)} = r_{jn} E_{jn}^{(1)} - s_{jn} E_{jn}^{(2)}, t_{jn}^{(2)} = r_{jn} E_{jn}^{(2)} - s_{jn} E_{jn}^{(1)}, \\ d_{jn}^{(1)} = s_{jn} C_{jn} + r_{jn} B_{jn}, d_{jn}^{(2)} = s_{jn} B_{jn} - r_{jn} C_{jn}, r_{jn} = P_{jn}^{(2)} - q_{jn}^{(2)}, \\ s_{jn} = 2P_{jn} q_{jn}, E_{jn}^{(1)} = P_{jn} B_{jn} + q_{jn} C_{jn}, E_{jn}^{(2)} = q_{jn} B_{jn} - P_{jn} C_{jn}.$$

Для построения решения системы уравнений (38) целесообразно воспользоваться одним из прямых методов решения сингулярных интегральных уравнений [5, 6, 18]. Ниже для нахождения функций Ω_m применяется обобщение метода Мультиппа [6]. Применяя этот метод в случае, когда $N_2^0 = \text{const}$, $M_2^0 = 0$, для определения коэффициентов интенсивности [15] K_1 , соответствующего усилию N_2 , и K_3 — моменту M_2 , получим формулы

$$K_1 = \frac{1}{2} N_2^0 \sqrt{R\alpha_0} \sum_{j=1}^{N/2} A_{2j-1}, K_3 = \frac{1}{2} N_2^0 R c \sqrt{R\alpha_0} \sum_{j=1}^{N/2} B_{2j-1}. \quad (39)$$

Здесь

$$A_{2j-1} = \frac{4}{n} \sum_{\nu=1}^{N/2} \varphi_{\nu}^{(1)} \cos(2j-1)\theta_{\nu}; \quad B_{2j-1} = \frac{4}{n} \sum_{\nu=1}^{N/2} \varphi_{\nu}^{(2)} \cos(2j-1)\theta_{\nu};$$

$\varphi_{\nu}^{(1)}$, $\varphi_{\nu}^{(2)}$ — корни системы алгебраических уравнений

$$\sum_{\nu=1}^{N/2} (\alpha_{m\nu} \varphi_{\nu}^{(1)} + \beta_{m\nu} \varphi_{\nu}^{(2)}) = 1, \\ \sum_{\nu=1}^{N/2} (\beta_{m\nu}^0 \varphi_{\nu}^{(1)} + \alpha_{m\nu}^0 \varphi_{\nu}^{(2)}) = 0, \quad m = 1, 2, \dots, N/2,$$

где

$$\alpha_{m\nu} = \frac{1}{2N} [\Psi_{m\nu}^* + \Psi_{11}^0(z_1) - \Psi_{11}^0(z_2)]; \quad \beta_{m\nu} = \frac{1}{2n} [\Psi_{12}^0(z_1) - \Psi_{12}^0(z_2)]; \\ \alpha_{m\nu}^0 = \frac{1}{2N} [\Psi_{m\nu}^* + \Psi_{22}^0(z_1) - \Psi_{22}^0(z_2)]; \quad \beta_{m\nu}^0 = \frac{1}{2n} [\Psi_{21}^0(z_1) - \Psi_{21}^0(z_2)]; \\ z_1 = \alpha_0 (\cos \theta_m - \cos \theta_{\nu}); \quad z_2 = \alpha_0 (\cos \theta_m + \cos \theta_{\nu}), \quad \theta_m = \frac{2m-1}{2n} \pi; \\ \Psi_{m\nu}^* = \frac{1}{\sin \theta_m} \left[\operatorname{ctg} \frac{\theta_m \mp \theta_{\nu}}{2} + \operatorname{tg} \frac{\theta_m \mp \theta_{\nu}}{2} \right].$$

Верхний знак берется в случае, когда число $|m - \nu|$ нечетно, а нижний, когда оно четно.

На ЭВМ «Минск-32» произведен численный анализ задачи для следующих значений параметров оболочки: $R = 0,15$ м; $h = 0,0015$ м; $\nu = 0,3$. Контроль сходимости решений системы алгебраических уравнений произведен методом сравнения величин $\varphi_v^{(i)}$ ($i = 1, 2$), вычисленных при $N = M$ и $N = 2M$ соответственно. В рассмотренном случае оказалось возможным для достижения точности 1% ограничиться $N = 30$.

На рис. 1 представлена зависимость относительного коэффициента интенсивности $K_1^* = K_1/N_0^0$ от относительной длины и количества разрезов.

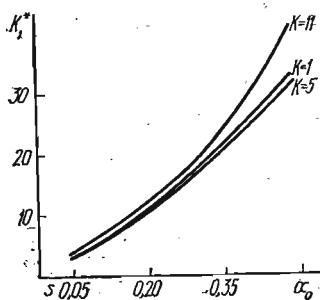


Рис. 1

Из приведенных графиков видно, что изменение коэффициента интенсивности мембранных усилий (K_1) при сближении контуров разрезов (увеличение k) носит немонотонный характер.

Задача о напряженном состоянии замкнутой цилиндрической оболочки с продольной трещиной в случае, когда в качестве исходных приняты уравнения технической теории оболочек, рассмотрена в работе [12].

Пример 2. Замкнутая цилиндрическая оболочка с периодической системой коллинеарных разрезов. Рассмотрим замкнутую бесконечную цилиндрическую оболочку с системой k периодически расположенных вдоль окружности $\alpha = 0$ разрезов (трещин).

Пусть оболочка растягивается на бесконечности равномерно распределенными усилиями постоянной интенсивности N_0 . Напряженно-деформированное состояние такой оболочки будет циклически симметричным, что позволяет исследовать цилиндрическую панель $|\beta| \leq \frac{\pi}{k}$ с разрезом $|\beta| \leq \beta_0$, $\alpha = 0$ (начало координат выбрано посередине разреза, $2\beta_0$ — центральный угол раствора дуги, вдоль которой расположен разрез). Поле дисторсий (30) в этом случае принимает вид

$$\varepsilon_{22}^0 = \varepsilon_{12}^0 = \varkappa_{22}^0 = \varkappa_{12}^0 = 0, \quad (40)$$

$$\varepsilon_{11}^0 = \frac{1}{R} [u(\beta)] \delta(\alpha), \quad \varkappa_{11}^0 = -\frac{1}{R} [\theta_1(\beta)] \delta(\alpha),$$

где

$$[u(\beta)] = u^+(\beta) - u^-(\beta); \quad [\theta_1(\beta)] = \theta_1^+(\beta) - \theta_1^-(\beta) \quad \forall \beta: |\beta| < \beta_0;$$

$$[u(\beta)] = [\theta_1(\beta)] = 0 \quad \forall \beta: |\beta| \geq \beta_0.$$

Для построения решения рассматриваемой задачи воспользуемся разрешающим уравнением (24) для круговой цилиндрической оболочки, записанным в комплексных усилиях. Подставим выражение (40) в уравнение (24). Используя затем $2\pi/k$ -периодическое по координате β фундаментальное решение уравнения

$$\left(\nabla^2 \nabla^2 + i2b^2 \frac{\partial^2}{\partial \alpha^2} \right) \Phi = \delta(\alpha) \delta(\beta - \theta), \quad (41)$$

для определения разрешающей функции \tilde{N} в рамках технической теории [2] получаем формулу

$$\tilde{N} = -\frac{D_0 k}{\pi} \int_{-\beta_0}^{\beta_0} \left\{ \frac{1}{R} [u(\theta)] \nabla^2 \frac{\partial^2}{\partial \beta^2} - [\theta_1(\theta)] \left(\frac{\partial^2}{\partial \alpha^2} - i\mu \nabla^2 \frac{\partial^2}{\partial \beta^2} \right) \right\} \times \\ \times \Phi(\alpha, \beta - \theta) d\theta.$$

Здесь

$$\Phi(\alpha, \beta - \theta) = \sum_{n=0}^{\infty} \Phi_n(\alpha) \cos kn(\beta - \theta) d\theta, \quad m = kn;$$

$$\Phi_0(\alpha) = \frac{1-i}{16b^3} e^{-b(1-i)|\alpha|} - \frac{i|\alpha|}{8b^2}; \quad \Phi_m(\alpha) = \frac{i}{4} \sum_{i=1}^2 \frac{e^{i\rho_{im}|\alpha|}}{\rho_{im}(\rho_{im}^2 + m^2 - ib^2)};$$

$$\rho_{im} = (-1)^{i+1} a_{im} + ib_{im}; \quad a_{im} = \frac{m}{\sqrt{2}} \sqrt{R_{im} - H_{im}};$$

$$b_{im} = \frac{m}{\sqrt{2}} \sqrt{R_{im} + H_{im}};$$

$$R_{im} = \sqrt{H_{im}^2 + E_{im}^2}; \quad H_{im} = 1 + (-1)^{i+1} \frac{b}{m} \sqrt{d_m - s_m};$$

$$E_{im} = \frac{b}{m} \sqrt{d_m + s_m} + 2(-1)^{i+1} s_m; \quad d_m = \sqrt{1 + s_m^2}; \quad s_m = \frac{b}{2m^2}.$$

На основании формул (21), (22), (25), (40), (41) определяем усилия и моменты в оболочке, вызванные произвольным распределением скачков перемещений $[u]$ и углов поворота $[\theta_1]$ вдоль разрезов. Прибавив затем к найденным величинам усилия в оболочке без разрезов и потребовав, чтобы суммарные величины удовлетворяли условиям свободных берегов разрезов

$$N_1(0, \beta) + N_1^0 = 0, \quad M_1 = 0 \quad \forall \beta: |\beta| \leq \beta_0, \quad (42)$$

для определения функций

$$F_1(\beta) = \frac{1}{R} \frac{d}{d\beta} [u(\beta)], \quad F_2(\beta) = \frac{1}{2b^2} \frac{d}{d\beta} [\theta_1(\beta)]$$

в новых переменных

$$s = \frac{1}{\lambda} \operatorname{tg} \frac{k\beta}{2}, \quad \zeta = \frac{1}{\lambda} \operatorname{tg} \frac{k\theta}{2}, \quad \lambda = \operatorname{tg} \frac{k\beta_0}{2}$$

получим систему сингулярных интегральных уравнений

$$\frac{a_r}{\pi} \int_{-1}^1 \frac{\Omega_r^0(\zeta) d\zeta}{s - \zeta} + \frac{\lambda}{\pi z} \sum_{i=1}^2 \int_{-1}^1 \Omega_i^0(\zeta) \Psi_{ri}(s, \zeta) d\zeta = f_r(s), \quad |s| < 1 \quad (r = 1, 2). \quad (43)$$

Здесь

$$\Omega_r^0(s) = \frac{1}{z} F_r \left(\frac{2}{k} \operatorname{arctg} \lambda s \right), \quad f_1 = \frac{N_0}{Ehz}, \quad f_2 = 0,$$

$$\Psi_{11} = \sum_{n=1}^{\infty} C_n \sin n\omega(s, \zeta), \quad \Psi_{12} = \Psi_{21} = (1 + \nu) \sum_{n=1}^{\infty} D_n \sin n\omega(s, \zeta),$$

$$\Psi_{22} = \frac{b}{k} \omega(s, \zeta) + 2a_2 \Psi_{11} + 2b^2 \sum_{n=1}^{\infty} \frac{D_n}{m^2} \sin n\omega(s, \zeta), \quad z = 1 + \lambda^2 s^2,$$

$$\omega(s, \zeta) = 2 \operatorname{arctg} \frac{\lambda(s - \zeta)}{1 + \lambda^2 s \zeta}, \quad C_m = A_m (b_m + s_m a_m) - 1,$$

$$D_m = A_m (s_m b_m - a_m), \quad A_m = \frac{1}{2m(1 + s_m^2)}, \quad a_1 = \frac{1}{2}, \quad a_2 = \frac{3 - 2\nu - \nu^2}{2}.$$

Функции $\Psi_{ri}(s, \zeta)$ непрерывны для всего множества действительных значений s и ζ .

Для нахождения решения системы уравнений (43), а затем коэффициентов интенсивности усилий и моментов можно воспользоваться одним из

прямых методов решения сингулярных интегральных уравнений [5, 6, 18]. В случае, когда исходными приняты уравнения в перемещениях (19), задача об упругом равновесии замкнутой цилиндрической оболочки с системой коллинеарных трещин рассмотрена в работе [10].

Пологие оболочки. Рассмотрим тонкую пологую оболочку [2, 3], находящуюся под воздействием поля дисторсий. Отнесем срединную поверхность оболочки к декартовой прямоугольной системе координат XOY и пусть координатные линии в общем случае не совпадают с линиями главных кривизн срединной поверхности. Тогда соотношения, связывающие компоненты деформации срединной поверхности с перемещениями, имеют вид [3]

$$\begin{aligned} \varepsilon_{xx} &= \frac{\partial u}{\partial x} + \frac{w}{R_{11}}, \quad \varepsilon_{yy} = \frac{\partial v}{\partial y} + \frac{w}{R_{22}}, \quad \varepsilon_{xy} = \frac{\partial u}{\partial y} + \frac{\partial v}{\partial x} + 2 \frac{w}{R_{12}}, \\ \kappa_{xx} &= -\frac{\partial^2 w}{\partial x^2}, \quad \kappa_{yy} = -\frac{\partial^2 w}{\partial y^2}, \quad \kappa_{xy} = -\frac{\partial^2 w}{\partial x \partial y}, \end{aligned} \quad (44)$$

где R_{11} , R_{22} — радиусы кривизны нормальных сечений поверхности, проведенных вдоль координатных линий $y = \text{const}$ и $x = \text{const}$ соответственно; R_{11} , R_{22} и R_{12} связаны с главными радиусами кривизны R_1 и R_2 формулами

$$\begin{aligned} \frac{1}{R_{11}} + \frac{1}{R_{22}} &= \frac{1}{R_1} + \frac{1}{R_2}, \quad \frac{1}{R_{11}R_{22}} - \frac{1}{R_{12}^2} = \frac{1}{R_1R_2}, \\ \frac{1}{R_{12}} &= \frac{1}{2} \left(\frac{1}{R_1} - \frac{1}{R_2} \right) \sin 2\beta; \end{aligned}$$

β — угол между координатной осью OX и линией, вдоль которой нормальная кривизна поверхности равна $1/R_1$.

Усилия и моменты в оболочке определяются через функцию напряжений $\varphi(x, y)$ и функцию прогибов $w(x, y)$ следующим образом:

$$\begin{aligned} N_1 &= \frac{\partial^2 \varphi}{\partial y^2}, \quad N_2 = \frac{\partial^2 \varphi}{\partial x^2}, \quad S = -\frac{\partial^2 \varphi}{\partial x \partial y}, \\ M_1 &= -D_1 \left(\frac{\partial^2 w}{\partial x^2} + \nu \frac{\partial^2 w}{\partial y^2} + \kappa_{xx}^0 + \nu \kappa_{yy}^0 \right), \\ M_2 &= -D_1 \left(\frac{\partial^2 w}{\partial y^2} + \nu \frac{\partial^2 w}{\partial x^2} + \kappa_{yy}^0 + \nu \kappa_{xx}^0 \right), \\ H &= -D_1 (1 - \nu) \left(\frac{\partial^2 w}{\partial x \partial y} + \kappa_{xy}^0 \right), \end{aligned} \quad (45)$$

$$\begin{aligned} Q_1 &= -D_1 \left[\frac{\partial}{\partial x} \nabla^2 w + \frac{\sigma}{\partial x} (\kappa_{xx}^0 + \nu \kappa_{yy}^0) + (1 - \nu) \frac{\partial}{\partial y} \kappa_{xy}^0 \right], \\ Q_2 &= -D_1 \left[\frac{\partial}{\partial y} \nabla^2 w + \frac{\sigma}{\partial y} (\kappa_{yy}^0 + \nu \kappa_{xx}^0) + (1 - \nu) \frac{\partial}{\partial x} \kappa_{xy}^0 \right]. \end{aligned}$$

Систему разрешающих уравнений относительно функции напряжений φ и функции прогибов w представим в виде

$$\begin{aligned} \nabla^2 \nabla^2 \varphi - \frac{D_0}{R} \nabla_k^2 w &= -D_0 F_1^0(x, y), \\ \nabla^2 \nabla^2 w + \frac{1}{D_1 R} \nabla_k^2 \varphi &= -F_2^0(x, y). \end{aligned} \quad (46)$$

Здесь

$$\begin{aligned} F_1^0 &= \nabla^2 \varepsilon_{yy}^0 + \frac{\partial^2}{\partial y^2} (\varepsilon_{xx}^0 - \varepsilon_{yy}^0) - \frac{\partial^2}{\partial x \partial y} \varepsilon_{xy}^0; \\ F_2^0 &= \nabla^2 (\kappa_{xx}^0 + \nu \kappa_{yy}^0) - (1 - \nu) \frac{\partial^2}{\partial y^2} (\kappa_{xx}^0 - \kappa_{yy}^0) + 2(1 - \nu) \frac{\partial^2}{\partial x \partial y} \kappa_{xy}^0; \\ \nabla_k^2 &= a \frac{\partial^2}{\partial x^2} + b \frac{\partial^2}{\partial x \partial y} + c \frac{\partial^2}{\partial y^2}; \quad \nabla^2 = \frac{\partial^2}{\partial x^2} + \frac{\partial^2}{\partial y^2}; \end{aligned}$$

$$a = \gamma_1^* \sin^2 \beta + \gamma_2^* \cos^2 \beta; \quad b = (\gamma_1^* - \gamma_2^*) \sin 2\beta;$$

$$c = \gamma_1^* \cos^2 \beta + \gamma_2^* \sin^2 \beta;$$

$$\gamma_1^* = \frac{R}{R_1}; \quad \gamma_2^* = \frac{R}{R_2}; \quad R = \min(|R_1|, |R_2|).$$

Рассмотрим напряженное состояние пологой цилиндрической оболочки с системой N произвольно расположенных прямолинейных в плане разрезов (трещин) длиной $2l_k$ ($k = 1, 2, \dots, N$). Отнесем срединную поверхность оболочки к декартовой системе координат XOY , причем ось OX направим по линии нулевой кривизны. Кроме того, на каждом разрезе, как и в случае плоской задачи [15], введем локальную систему координат $X_k O_k Y_k$, начало которой поместим в центре трещины, а ось $O_k X_k$ направим по линии трещины. Центры трещин в базисной системе координат XOY имеют координаты (X_k^0, Y_k^0) , а оси $O_k X_k$ образуют с осью OX углы β_k .

Граничные условия на контуре разреза $Y_k = 0, |x_k| \leq l_k$ запишем так:

$$N_2^+(x_k, 0) = N_2^-(x_k, 0) = f_{1k}(x_k), \quad M_2^+(x_k, 0) = M_2^-(x_k, 0) = f_{3k}(x_k),$$

$$S^+(x_k, 0) = S^-(x_k, 0) = f_{2k}(x_k), \quad Q_2^{*+}(x_k, 0) = Q_2^{*-}(x_k, 0) = f_{4k}(x_k), \quad (47)$$

где f_{ik} ($i = \overline{1, 4}$) — заданные усилия и моменты.

Учитывая соотношения (44), (47), разрешающие уравнения (46) для определения функций φ_k, ω_k в случае одного произвольно ориентированного разреза в цилиндрической оболочке записываем в виде

$$\nabla^2 \nabla^2 \varphi_k - \frac{D_0}{R} \nabla_R^2 \omega_k = -D_0 (\nabla_1^2 \varepsilon_{yy}^0 - \nabla_1 \nabla_2 \varepsilon_{xy}^0), \quad (48)$$

$$\nabla^2 \nabla^2 \omega_k + \frac{1}{D_1 R} \nabla_R^2 \varphi_k = -(\nu \nabla_1^2 + \nabla_2^2) \varkappa_{yy}^0 - 2(1 - \nu) \nabla_1 \nabla_2 \varkappa_{xy}^0.$$

Здесь

$$\nabla^2 = \nabla_1^2 + \nabla_2^2, \quad \nabla_R^2 = \cos^2 \beta_k \nabla_1^2 - \sin 2\beta_k \nabla_1 \nabla_2 + \sin^2 \beta_k \nabla_2^2,$$

$$\nabla_1 = \frac{\partial}{\partial x_k}, \quad \nabla_2 = \frac{\partial}{\partial y_k}, \quad (49)$$

$$\varepsilon_{yy}^0 = [v_k(x_k)] \delta(y_k), \quad \varepsilon_{xy}^0 = [u_k(x_k)] \delta(y_k),$$

$$\varkappa_{yy}^0 = -[\theta_{2k}(x_k)] \delta(y_k) - [w_k(x_k)] \nabla_2 \delta(y_k), \quad \varkappa_{xy}^0 = -\nabla_1 [w_k(x_k)] \delta(y_k),$$

где

$$[v_k(x_k)] = v_k^+(x_k) - v_k^-(x_k); \quad [u_k(x_k)] = u_k^+(x_k) - u_k^-(x_k);$$

$$[\theta_{2k}(x_k)] = \nabla_2 w_k^+ - \nabla_2 w_k^-; \quad [w_k(x_k)] = w_k^+(x_k) - w_k^-(x_k) \quad \forall x_k; |x_k| < l_k;$$

$$[v_k] = [u_k] = [\theta_{2k}] = [w_k] = 0 \quad \forall x_k: |x_k| \geq l_k.$$

Используя преобразования Фурье, решение системы уравнений (48) представляем в виде

$$g_k^{(i)}(x_k, y_k) = \frac{a_i^*}{4\pi} \int_{-l_k}^{l_k} \left\{ [v_k(\zeta)] \Phi_i(x_k - \zeta, y_k) + [u_k(\zeta)] \Phi_{i+2}(x_k - \zeta, y_k) - \right.$$

$$\left. - R c [\theta_{2k}(\zeta)] F_i(x_k - \zeta, y_k) - R c \frac{d}{d\zeta} [w_k(\zeta)] F_{i+2}(x_k - \zeta, y_k) \right\} d\zeta \quad (i = 1, 2), \quad (50)$$

где

$$g_k^{(1)} = w_k; \quad g_k^{(2)} = \varphi_k; \quad \Phi_1 = \varphi^1 - f^1; \quad \Phi_2 = \varphi^2 + f^2;$$

$$\varphi^1 = b_1 f^3 + b_2 f^5; \quad \varphi^2 = b_1 f^4 + b_2 f^6; \quad \Phi_3 = b_2 f^3 - b_1 f^5; \quad \Phi_4 = b_2 f^4 - b_1 f^6;$$

$$\begin{aligned}
F_1 &= (1 + \nu) f^2 - (1 - \nu) \varphi^2; & F_2 &= (1 + \nu) f^1 + (1 - \nu) \varphi^1; \\
F_3 &= -(1 - \nu) \Phi_4 + 2 \int_0^{\tau} \nabla_2 f^2 d\tau; & F_4 &= (1 - \nu) \Phi_3 + 2 \int_0^{\tau} \nabla_2 f^1 d\tau; \\
f^1 &= B_1(z) \ker \beta r + B_2(z) \operatorname{kei} \beta r; & f^2 &= B_2(z) \ker \beta r - B_1(z) \operatorname{kei} \beta r; & f^3 &= \Psi_1 \frac{\tau}{r}; \\
f^4 &= \Psi_2 \frac{\tau}{r}; & f^5 &= \Psi_1 \frac{y_k}{r}; & f^6 &= \Psi_2 \frac{y_k}{r}; & \Psi_1 &= \frac{1}{\sqrt{2}} [\gamma_2(z) \ker' \beta r - \\
& - \gamma_1(z) \operatorname{kei}' \beta r]; & \Psi_2 &= \frac{1}{\sqrt{2}} [\gamma_1(z) \ker' \beta r + \gamma_2(z) \operatorname{kei}' \beta r]; & \gamma_1 &= B_3 + B_4; \\
\gamma_2 &= B_4 - B_3; & B_1(z) &= \sin mz \operatorname{sh} mz; & B_2(z) &= \cos mz \operatorname{ch} mz; \\
& & B_3(z) &= \sin mz \operatorname{ch} mz; \\
B_4(z) &= \cos mz \operatorname{sh} mz; & r^2 &= \tau^2 + y_k^2; & \tau &= x_k - \zeta; & z &= b_1 \tau - b_2 y_k; \\
b_1 &= \cos \beta_k; & b_2 &= \sin \beta_k; & m &= \frac{\beta}{\sqrt{2}}; & \beta &= \frac{\lambda}{2}; & \lambda^2 &= \frac{1}{R^2 c}; \\
Rc &= \frac{h}{\sqrt{3(1 - \nu^2)}}; & a_1^* &= \frac{1}{Rc}; & a_2^* &= D_0; & \ker' x &= \frac{d}{dx} \ker x; \\
& & \operatorname{kei}' x &= \frac{d}{dx} \operatorname{kei} x;
\end{aligned}$$

$\ker x$, $\operatorname{kei} x$ — функции Томсона.

Используя полученные выражения для разрешающих функций (50) и формулы для определения усилий и моментов (45), а также некоторые соотношения из работы [19], можно найти усилия и моменты на произвольной площадке с нормалью n , вызванные скачками перемещений и углов поворота на k -й трещине. В частности, на линии n -й трещины $O_n X_n$ они имеют вид

$$\begin{aligned}
G_{nk}^{(i)} &= \frac{A_i}{2\pi} \int_{-l_k}^{l_k} [\Psi_{1k}(\zeta) K_{nk}^{(i)}(\zeta, x_n) + \Psi_{2k}(\zeta) L_{nk}^{(i)}(\zeta, x_n) + \\
& + \Psi_{3k}(\zeta) P_{nk}^{(i)}(\zeta, x_n) + \Psi_{4k}(\zeta) R_{nk}^{(i)}(\zeta, x_n)] d\zeta, & |x_n| &\leq l_n \quad (n = \overline{1, N}; i = \overline{1, 4}).
\end{aligned} \tag{51}$$

Здесь

$$\begin{aligned}
G_{nk}^{(1)} &= N_{nk}, & G_{nk}^{(2)} &= S_{nk}, & G_{nk}^{(3)} &= M_{nk}, & G_{nk}^{(4)} &= \int Q_{nk}^* dx_n + c_{nk}, \\
Q_{nk}^* &= Q_{nk} + \frac{\partial}{\partial x_n} H_{nk}, & \Psi_{1k}(\zeta) &= \frac{d}{d\zeta} [v_k(\zeta)], & \Psi_{2k}(\zeta) &= \frac{d}{d\zeta} [u_k(\zeta)], \\
\Psi_{3k}(\zeta) &= -Rc \frac{d}{d\zeta} [\theta_{2k}(\zeta)], & \Psi_{4k}(\zeta) &= -Rc \frac{d}{d\zeta} \left\{ \frac{d}{d\zeta} [\omega_k(\zeta)] \right\}, \\
T_{nk}^{(1)} &= t_1^{(1)} \alpha_1 + t_2^{(1)} \alpha_2 - t_3^{(1)} \alpha_3, & T_{nk}^{(2)} &= t_1^{(2)} \alpha_3 + t_2^{(2)} \alpha_4, & T_{nk}^{(3)} &= t_1^{(3)} \alpha_1 + \\
& + t_2^{(3)} \alpha_2 - t_3^{(3)} \alpha_3, & T_{nk}^{(4)} &= -t_1^{(4)} \sin \beta_{nk} + t_2^{(4)} \cos \beta_{nk} + t_3^{(4)} \alpha_3 + t_4^{(4)} \alpha_4, \\
T_{nk}^{(i)} &= K_{nk}^{(i)}, & L_{nk}^{(i)} &= P_{nk}^{(i)}, & R_{nk}^{(i)} &= t_i^{(i)} = k_j^{(i)}, & l_i^{(i)} &= p_i^{(i)}, & r_i^{(i)}, \\
l_1^{(2)} &= \frac{1}{2} (t_2^{(1)} - t_1^{(1)}), & t_2^{(2)} &= t_3^{(1)}, & t_3^{(4)} &= \frac{1}{2} (t_2^{(3)} - t_1^{(3)}), & t_4^{(4)} &= t_3^{(3)}, \\
k_1^{(1)} &= b_1 (\omega_9 - \omega_7) - b_2 (\omega_8 + b_1 \omega_4 - b_2 \omega_2), & k_2^{(1)} &= (1 + b_1^2) \omega_2 + b_1 (\omega_7 + \omega_9) + \\
& + b_2 (\omega_8 + b_1 \omega_4), & k_3^{(1)} &= -b_1 (\omega_8 + b_1 \omega_4) + b_2 (\omega_7 + b_1 \omega_2), & l_1^{(1)} &= -(1 + b_2^2) \omega_4 + \\
& + b_1 (\omega_8 - b_2 \omega_2) + b_2 (2\omega_9 - \omega_7), & l_2^{(1)} &= k_3^{(1)}, & l_3^{(1)} &= b_1 (\omega_9 - \omega_7) - b_2 (\omega_8 +
\end{aligned}$$

$$\begin{aligned}
& + b_1\omega_4 - b_2\omega_2), \quad p_1^{(1)} = -(1-\nu)(b_1\omega_5 + b_2\omega_5 - b_1b_2\omega_3) - [2 + (1-\nu)b_2^2]\omega_1 + \\
& + (1+\nu)b_1\omega_{10} - 4b_2\omega_{11}, \quad p_2^{(1)} = -p_1^{(1)} - 2[(1-\nu)\omega_1 - (1+\nu)b_1\omega_{10} + 2b_2\omega_{11}], \\
& \quad p_3^{(1)} = -(1-\nu)(b_1\omega_6 - b_2\omega_5 + b_1b_2\omega_4) - [2 - (1-\nu)b_1^2]\omega_3 + 2b_2\omega_{10}, \\
& \quad r_1^{(1)} = -p_3^{(1)} - 2(1+\nu)(\omega_3 - b_2\omega_{10}) + 4(b_1\omega_{11} - b_2\omega_{12}), \quad r_2^{(1)} = p_3^{(1)} + \\
& \quad + 4(\omega_3 - b_2\omega_{10}), \quad r_3^{(1)} = p_1^{(1)} + 4(\omega_1 - b_1\omega_{10} + 2b_2\omega_{11}), \quad k_1^{(3)} = p_1^{(1)} + \\
& + 4(\omega_1 + b_2\omega_{11}), \quad k_2^{(3)} = p_2^{(1)}, \quad k_3^{(3)} = (1-\nu)[b_2(\omega_5 - b_1\omega_4) - b_1(\omega_5 - b_1\omega_3)], \\
& \quad l_1^{(3)} = r_1^{(1)} - 4(b_1\omega_{11} - b_2\omega_{12}), \quad l_2^{(3)} = p_3^{(1)}, \quad l_3^{(3)} = -(1-\nu)[b_1(\omega_5 + \omega_{10}) + \\
& + b_2(\omega_6 - b_1\omega_3 + b_2\omega_4)], \quad p_1^{(3)} = (1-\nu)^2[b_1(\omega_7 + b_2\omega_4) + b_2(\omega_8 - b_2\omega_2)] - \\
& - (1+\nu)^2b_1\omega_9 + 4\nu b_2\omega_{13}, \quad p_2^{(3)} = -(1-\nu)^2(b_1\omega_7 + b_2\omega_8 + b_1b_2\omega_4) - \\
& - (1-\nu)^2b_1\omega_9 + (1-\nu)[3 + \nu - (1-\nu)b_1^2]\omega_2 + 4b_2\omega_{13}, \\
& \quad p_3^{(3)} = (1-\nu)^2(b_1\omega_8 - b_2\omega_7 - b_1b_2\omega_2) + 2(1-\nu)b_2\omega_9 - \\
& - (1-\nu)[2 - (1-\nu)b_1^2]\omega_4, \quad r_1^{(3)} = -(1-\nu)^2(b_1\omega_8 - b_2\omega_7 - b_1b_2\omega_2) + \\
& + 2(1-\nu^2)b_2\omega_9 - (1-\nu)[3 + \nu - (1-\nu)b_2^2]\omega_4 - 4\nu(b_1\omega_{13} - b_2\omega_{14}), \\
& \quad r_2^{(3)} = (1-\nu)^2[b_1(\omega_8 + b_1\omega_4) - b_2(\omega_7 + b_1\omega_2)] - 4(b_1\omega_{13} - b_2\omega_{14}), \\
& \quad r_3^{(3)} = (1-\nu)^2(b_1\omega_7 + b_2\omega_8 + b_1b_2\omega_4) - (1-\nu)(3-\nu)b_1\omega_9 + \\
& + (1-\nu)[2 - (1-\nu)b_2^2]\omega_2 + 4(1-\nu)b_2\omega_{13}, \quad k_1^{(4)} = 2(\omega_1 + b_1\omega_{10}), \\
& \quad k_2^{(4)} = 2(\omega_3 - b_2\omega_{10}), \quad l_1^{(4)} = -k_2^{(4)}, \quad l_2^{(4)} = 2(\omega_1 - b_1\omega_{10}) + 4b_2\omega_{11}, \\
& \quad p_1^{(4)} = 2[(1-\nu)\omega_2 - (1+\nu)b_1\omega_9 + 2b_2\omega_{13}], \quad p_2^{(4)} = 2[(1-\nu)(\omega_4 - b_2\omega_9) - \\
& - 2(b_1\omega_{13} - b_2\omega_{14})], \quad r_1^{(4)} = -2[(1-\nu)(\omega_4 - b_2\omega_9) + 2(b_1\omega_{13} - b_2\omega_{14})], \\
& \quad r_2^{(4)} = 2(1-\nu)(\omega_2 - b_1\omega_9) + 4\{b_2[(1-\nu)\omega_{13} + \omega_{15}] - b_1\omega_{14}\},
\end{aligned}$$

где

$$\begin{aligned}
\omega_1 &= B_1(z_1)\partial_1\Psi_1 + B_2(z_1)\partial_1\Psi_2; & \omega_2 &= B_2(z_1)\partial_1\Psi_1 - B_1(z_1)\partial_1\Psi_2; \\
\omega_3 &= B_1(z_1)\partial_2\Psi_1 + B_2(z_1)\partial_2\Psi_2; & \omega_4 &= B_2(z_1)\partial_2\Psi_1 - B_1(z_1)\partial_2\Psi_2; \\
\omega_5 &= m_1[\gamma_2(z_1)\partial_1^2\Psi_1 - \gamma_1(z_1)\partial_1^2\Psi_2]; & \omega_6 &= m_1[\gamma_2(z_1)\partial_1\partial_2\Psi_1 - \gamma_1(z_1)\partial_1\partial_2\Psi_2]; \\
& & \omega_7 &= m_1[\gamma_1(z_1)\partial_1^2\Psi_1 + \gamma_2(z_1)\partial_1^2\Psi_2]; \\
\omega_8 &= m_1[\gamma_1(z_1)\partial_1\partial_2\Psi_1 + \gamma_2(z_1)\partial_1\partial_2\Psi_2]; & \omega_9 &= m[\gamma_2(z_1)\Psi_1 - \gamma_1(z_1)\Psi_2];
\end{aligned}$$

$$\omega_{10} = m[\gamma_1(z_1)\Psi_1 + \gamma_2(z_1)\Psi_2]; \quad \omega_{11} = \int_0^{\eta-\zeta} \partial_2\omega_{10}d\eta;$$

$$\omega_{12} = \int_0^{\eta-\zeta} \int_0^{\eta-\zeta} \partial_2^2\omega_{10}d\eta d\eta; \quad \omega_{13} = \int_0^{\eta-\zeta} \partial_2\omega_9d\eta; \quad \omega_{14} = \int_0^{\eta-\zeta} \int_0^{\eta-\zeta} \partial_2^2\omega_9d\eta d\eta;$$

$$\omega_{15} = \int_0^{\eta-\zeta} \int_0^{\eta-\zeta} \int_0^{\eta-\zeta} \partial_2^3\omega_9d\eta d\eta d\eta; \quad \Psi_1 = \ker \beta\rho; \quad \Psi_2 = \ker i\beta\rho;$$

$$z_1 = b_1(\eta - \zeta) - b_2\theta; \quad \rho^2 = (\eta - \zeta)^2 + \theta^2; \quad \partial_1 = \frac{\partial}{\partial\eta}; \quad \partial_2 = \frac{\partial}{\partial\theta};$$

$$\eta = b_1s_1 + b_2s_2 + x_n \cos \beta_{nk}; \quad \theta = -b_2s_1 + b_1s_2 + x_n \sin \beta_{nk};$$

$$s_1 = x_n^0 - x_k^0; \quad s_2 = y_n^0 - y_k^0; \quad \alpha_1 = \sin^2 \beta_{nk}; \quad \alpha_2 = \cos^2 \beta_{nk};$$

$$\alpha_3 = \sin 2\beta_{nk}; \quad \alpha_4 = \cos 2\beta_{nk}; \quad \beta_{nk} = \beta_n - \beta_k; \quad m_1 = \frac{1}{\sqrt{2}\beta};$$

$A_1 = A_2 = D_0$; $A_3 = A_4 = D_0 R c$; c_{nk} — постоянная интегрирования.

В силу линейности рассматриваемой задачи суммарные усилия и моменты на линии n -го разреза $O_n X_n$, вызванные всеми скачками перемещений и углов поворота на N разрезах $y_k = 0$, $|x_k| \leq l_k$ ($k = \overline{1, N}$), получим путем суперпозиции усилий и моментов для изолированных разрезов

$$G_n^{(i)} = \sum_{k=1}^N G_{nk}^{(i)}, \quad |x_n| \leq l_n \quad (n = \overline{1, N}; i = \overline{1, 4}), \quad (52)$$

где $G_n^{(1)} = N_n$, $G_n^{(2)} = S_n$, $G_n^{(4)} = \int Q_n^* dx_n + c_n$ — соответственно нормальное, касательное и обобщенное перерезывающее усилия; $G_n^{(3)} = M_n$ — изгибающий момент.

Приравнявая выражения (52) для усилий и моментов к заданным усилиям и моментам на берегах разрезов, для определения неизвестных функций получаем систему сингулярных интегральных уравнений

$$\begin{aligned} \sum_{k=1}^N \int_{-l_k}^{l_k} [\Psi_{1k}(\zeta) K_{nk}^{(1)}(\zeta, x_n) + \Psi_{2k}(\zeta) L_{nk}^{(2)}(\zeta, x_n) + \\ + \Psi_{3k}(\zeta) P_{nk}^{(3)}(\zeta, x_n) + \Psi_{4k}(\zeta) R_{nk}^{(4)}(\zeta, x_n)] d\zeta = \frac{2\pi}{A_i} T_n^{(i)}(x_n), \quad (53) \\ |x_n| \leq l_n \quad (n = \overline{1, N}; i = \overline{1, 4}), \end{aligned}$$

где $T_n^{(i)}$ — заданные на берегах разрезов усилия и моменты. Ядра системы уравнений (53) есть регулярные функции, за исключением случая $n = k$, когда ядра $K_{nk}^{(1)}$, $L_{nk}^{(2)}$, $P_{nk}^{(3)}$, $R_{nk}^{(4)}$ имеют сингулярности типа Коши.

В случае, когда в оболочке имеется четыре равноудаленных от начала координат XOY разреза (два продольных и два поперечных) одинаковой длины $2l$, которые образуют с осью OX углы $\beta_k = \frac{2\pi}{N}(k-1)$ ($k = \overline{1, 4}$; $N = 4$) и загружены попарно одинаковыми равномерно распределенными по длине разрезов усилиями $N_2(x, 0) = -N_2^0$, $N_1(x, 0) = -N_1^0$ и моментами $M_2(x, 0) = -M_2^0$, $M_1(x, 0) = -M_1^0$, действующими соответственно на продольных и поперечных разрезах, система интегральных уравнений (53) принимает вид

$$\sum_{k=1}^4 \int_{-l}^l \Psi_k(\zeta) K_{ik}(\zeta, x) d\zeta = f_i(x), \quad |x| \leq l \quad (i = \overline{1, 4}). \quad (54)$$

Здесь

$$\begin{aligned} \Psi_1(\zeta) &= \frac{d}{d\zeta} [v_1'(\zeta)], \quad \Psi_2(\zeta) = -Rc \frac{d}{d\zeta} [\theta_{21}(\zeta)], \quad \Psi_3 = \frac{d}{d\zeta} [v_2(\zeta)], \\ \Psi_4(\zeta) &= -Rc \frac{d}{d\zeta} [\theta_{22}(\zeta)], \quad K_{11} = -\frac{a_1}{z_1} + K_{11}^0, \\ K_{22} &= -\frac{a_2}{z_1} + K_{22}^0, \quad K_{33} = -\frac{a_1}{z_1} + K_{33}^0, \quad K_{44} = -\frac{a_2}{z_1} + K_{44}^0, \quad z_1 = x - \zeta, \\ K_{11}^0 &= K_{11}^2(z_1) + K_{11}^1(z_2), \quad K_{22}^0 = K_{33}^2(z_1) + K_{33}^1(z_2), \quad K_{33}^0 = K_{11}^1(z_1) + \\ &+ K_{11}^2(z_2), \quad K_{44}^0 = K_{33}^1(z_1) + K_{33}^2(z_2), \quad z_2 = -(x + \zeta + 2d), \quad K_{12} = K_{21} = \\ &= K_{13}^2(z_1) + K_{13}^1(z_2), \quad K_{13} = 2K_{11}^1(s, t), \quad K_{14} = K_{23} = 2K_{13}^1(s, t), \\ K_{24} &= 2K_{33}^1(s, t), \quad K_{31} = 2K_{11}^2(s, t), \quad K_{32} = K_{41} = 2K_{13}^2(s, t), \\ K_{34} &= K_{43} = K_{13}^1(z_1) + K_{13}^2(z_2), \quad K_{42} = 2K_{33}^2(s, t), \\ K_{11}^2(z_i) &= 2[\varphi_2(z_i) + \varphi_3(z_i)] - \varphi_6(z_i), \quad K_{13}^2(z_i) = 2v[\varphi_1(z_i) + \varphi_4(z_i)] - \\ &- (1-v)\varphi_5(z_i), \quad K_{33}^2(z_i) = 2(1-v^2)\varphi_2(z_i) - 2(1+v^2)\varphi_3(z_i) + \end{aligned}$$

$$\begin{aligned}
& + (1 - \nu)^2 \varphi_8(z_i), K_{11}^1(z_i) = \omega_1(z_i), K_{13}^1(z_i) = (1 + \nu) \omega_2(z_i), \\
& K_{33}^1(z_i) = a_2 \omega_1(z_i) + \omega_3(z_i), \varphi_1(z_i) = [B_1(z_i) \beta |z_i| \ker' \beta |z_i| + \\
& + B_2(z_i) \beta |z_i| \ker' \beta |z_i|] \frac{1}{z_i}, \varphi_2(z_i) = [B_2(z_i) \beta |z_i| \ker' \beta |z_i| - \\
& - B_1(z_i) \beta |z_i| \ker' \beta |z_i|] \frac{1}{z_i} + \frac{1}{z_i} \delta_{1i}, \varphi_3(z_i) = m [\gamma_2(z_i) \ker \beta |z_i| - \\
& - \gamma_1(z_i) \ker \beta |z_i|], \varphi_4(z_i) = m [\gamma_1(z_i) \ker \beta |z_i| + \gamma_2(z_i) \ker \beta |z_i|], \\
& \varphi_5(z_i) = [\gamma_2(z_i) \ker' \beta |z_i| - \gamma_1(z_i) \ker' \beta |z_i|] \frac{m}{\beta |z_i|}, \\
& \varphi_6(z_i) = [\gamma_1(z_i) \ker' \beta |z_i| + \gamma_2(z_i) \ker' \beta |z_i|] \frac{m}{\beta |z_i|} + \frac{1}{z_i} \delta_{1i}, \\
& \omega_1(z_i) = (\beta |z_i| \ker' \beta |z_i| + \delta_{1i}) \frac{1}{z_i}, \omega_2(z_i) = \beta |z_i| \ker' \beta |z_i| \frac{1}{z_i} \quad (i = 1, 2), \\
& \delta_{ik} \text{ — символ Кронекера,}
\end{aligned}$$

$$\begin{aligned}
& \omega_3(z_1) = 4\beta^2 \int_0^{z_1} \ker \beta |\eta| d\eta, \quad \omega_3(z_2) = 4\beta^2 \int_{z_2}^{z_1} \ker \beta |\eta| d\eta, \\
& K_{11}^1(s, t) = \Phi_2^0 - \Phi_6^0, \quad K_{13}^1(s, t) = (1 + \nu) \Phi_1^0 - (1 - \nu) \Phi_5^0, \quad K_{33}^{(1)}(s, t) = \\
& = a_2 \Phi_2^0 + (1 - \nu)^2 \Phi_6^0 + 4\beta^2 \int_x^t (\Phi_3^0 - \Phi_4^0) dx, \quad K_{11}^2(s, t) = 2\Omega_1 + \Omega_3 + \Omega_6, \\
& K_{13}^2(s, t) = 2\nu\Omega_2 + (1 + \nu)\Omega_4 + (1 - \nu)\Omega_6, \quad K_{33}^2(s, t) = 2(1 - \nu^2)\Omega_1 - \\
& - (1 + \nu)^2\Omega_3 - (1 - \nu)^2\Omega_5, \quad s = -(\zeta + d), \quad t = x + d, \\
& \Phi_1^0 = \beta [B_1(t) \ker' \beta \rho + B_2(t) \ker' \beta \rho] \frac{s}{\rho}, \quad \Phi_2^0 = \beta [B_2(t) \ker' \beta \rho - \\
& - B_1(t) \ker' \beta \rho] \frac{s}{\rho}, \quad \Phi_3^0 = \frac{1}{\sqrt{2}} [\gamma_2(t) \ker' \beta \rho - \gamma_1(t) \ker' \beta \rho] \frac{t}{\rho}, \\
& \Phi_4^0 = B_1(t) \ker \beta \rho + B_2(t) \ker \beta \rho, \quad \Phi_5^0 = -m [\gamma_2(t) \Psi_1(s, t) - \gamma_1(t) \Psi_2(s, t)], \\
& \Phi_6^0 = -m [\gamma_1(t) \Psi_1(s, t) + \gamma_2(t) \Psi_2(s, t)], \quad \Omega_1 = \beta [B_2(s) \ker' \beta \rho - \\
& - B_1(s) \ker' \beta \rho] \frac{s}{\rho}, \quad \Omega_2 = \beta [B_1(s) \ker' \beta \rho + B_2(s) \ker' \beta \rho] \frac{s}{\rho}, \\
& \Omega_3 = m [\gamma_2(s) \ker \beta \rho - \gamma_1(s) \ker \beta \rho], \quad \Omega_4 = m [\gamma_1(s) \ker \beta \rho + \gamma_2(s) \ker \beta \rho], \\
& \Omega_5 = -m [\gamma_1(s) \Psi_3^0(s, t) + \gamma_2(s) \Psi_4^0(s, t)], \quad \Omega_6 = -m [\gamma_2(s) \Psi_3^0(s, t) - \\
& - \gamma_1(s) \Psi_4^0(s, t)], \quad \Psi_1^0 = L_1 \frac{st}{\rho^2}, \quad \Psi_2^0 = L_2 \frac{st}{\rho^2}, \quad \Psi_3^0 = L_1 \frac{s^2}{\rho^2} - \frac{\ker' \beta \rho}{\beta \rho}, \\
& \Psi_4^0 = L_2 \frac{s^2}{\rho^2} - \frac{\ker' \beta \rho}{\beta \rho}, \quad L_1 = \frac{2 \ker' \beta \rho}{\beta \rho} + \ker \beta \rho, \quad L_2 = \frac{2 \ker' \beta \rho}{\beta \rho} - \ker \beta \rho, \\
& f_1 = -\frac{4\pi}{D_0} N_2^0, \quad f_2 = -\frac{4\pi}{D_0 R c} M_2^0, \quad f_3 = -\frac{4\pi}{D_0} N_1^0, \quad f_4 = -\frac{4\pi}{D_0 R c} M_1^0, \\
& a_1 = 1, \quad a_2 = 3 - 2\nu - \nu^2,
\end{aligned}$$

d — расстояние от центра каждого разреза до начала координат x, y .

Если в системе интегральных уравнений (54) перейти к безразмерным координатам, отнесенным к полудлине разреза l , то решение вновь полученной системы уравнений можно построить одним из прямых методов [5, 6, 18]. Коэффициенты интенсивности [15] усилий K_1, K_1^* и моментов K_3, K_3^* определяются так:

в окрестности внешних вершин разрезов

$$K_i^+ = \lim_{x^* \rightarrow -1} \sqrt{2l(x^* - 1)} P_i^0(x^*, 0), \quad i = 1, 3, \dots \quad (55)$$

в окрестности внутренних —

$$K_i^- = \lim_{x^* \rightarrow -1} \sqrt{2l|x^* + 1|} P_i^0(x^*, 0), \quad i = 1, 3. \quad (56)$$

Здесь K_1 и K_3 — соответственно коэффициенты интенсивности усилия $P_1^0 = N_2(x, 0)$ и момента $P_3^0 = M_2(x, 0)$ в окрестности продольных разрезов, а K_1^* и K_3^* — коэффициенты интенсивности усилия $P_1^0 = N_1(x, 0)$ и момента $P_3^0 = M_1(x, 0)$ в окрестности поперечных разрезов.

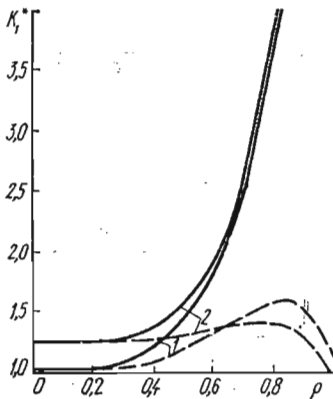


Рис. 2

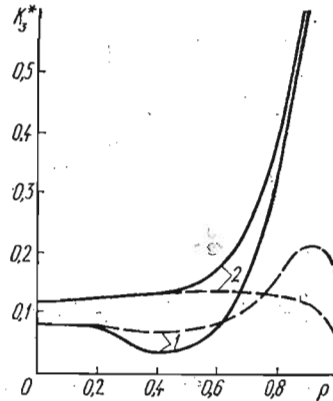


Рис. 3

В случае, когда берега разрезов загружены одинаковыми нормальными усилиями постоянной интенсивности N^0 , на ЭВМ «Минск-32» произведен численный анализ задачи. Вычисления произведены для следующих значений параметров: $R = 0,15$ м; $2h = 0,003$ м; $\nu = 0,3$ при наличии в оболочке четырех разрезов одинаковой длины $l = 0,0116$ м. Для построения решения системы интегральных уравнений (54) использован прямой метод решения сингулярных интегральных уравнений [6].

На рис. 2 приведена зависимость относительного коэффициента интенсивности $K_1^* = K_1/N^0 \sqrt{l}$ от параметра $\rho = l/d$ для внутренних вершин разрезов (сплошные линии) и внешних (штриховые). Кривые 1 соответствуют изменению коэффициента интенсивности у вершин поперечных разрезов, кривые 2 — у вершин продольных. Как видно из графиков, по мере сближения разрезов (трещин) величина коэффициента интенсивности для внутренних вершин монотонно возрастает, стремясь к бесконечности, в то время как у внешних вершин изменение его носит немонокотонный характер. На рис. 3 приведены аналогичные кривые изменения относительного коэффициента $K_3^* = K_3/N^0 \sqrt{lRc}$ от параметра ρ .

Задача об упругом равновесии пологой сферической оболочки с системой произвольно ориентированных трещин (разрезов) рассмотрена в работе [13].

Трансверсально-изотропные оболочки. Рассмотрим упругое равновесие оболочки с разрезами, обладающей анизотропией специального вида, когда в каждой точке материала имеется поверхность изотропии. Этот вид упругой анизотропии — трансверсальная изотропия — имеет место в ряде слоистых материалов, широко применяющихся в современной технике. При получении исходных соотношений состояния трансверсально-изотропных оболочек с разрезами (трещинами) воспользуемся подходом, основанным на применении модели С. П. Тимошенко (сдвиговой модели) [16].

Для трансверсально-изотропного материала с учетом статической гипотезы $\sigma_{33} \approx 0$ [16] компоненты тензора упругой деформации e_{ij}^s связаны с компонентами тензора напряжений σ_{ij} соотношениями

$$\begin{aligned} e_{11}^s &= \frac{1}{E} (\sigma_{11} - \nu \sigma_{22}), \quad e_{22}^s = \frac{1}{E} (\sigma_{22} - \nu \sigma_{11}); \\ e_{12}^s &= \frac{2(1+\nu)}{E} \sigma_{12}, \quad e_{13}^s = \frac{1}{G'} \sigma_{13}, \quad e_{23}^s = \frac{1}{G'} \sigma_{23}, \end{aligned} \quad (57)$$

где G' — модуль сдвига в площадках, перпендикулярных срединной поверхности. На основании соотношений (1), (57) записываем

$$\sigma_{ii} = \frac{E}{1-\nu^2} [e_{ii} + \nu e_{jj} - (e_{ii}^0 + e_{jj}^0)] \quad (i \neq j = 1, 2), \quad (58)$$

$$\sigma_{12} = \frac{E}{1+\nu} (e_{12} - e_{12}^0), \quad \sigma_{13} = G' (e_{13} - e_{13}^0), \quad \sigma_{23} = G' (e_{23} - e_{23}^0). \quad (59)$$

Используя эти выражения и формулы, связывающие компоненты деформации e_{ij} в произвольной точке оболочки с компонентами деформации ее срединной поверхности ε_{ij} , κ_{ij} [16], для удельной работы деформации трансверсально-изотропной оболочки, находящейся под воздействием заданного поля дисторсий, получаем

$$\begin{aligned} V &= \frac{Eh}{1-\nu^2} \left\{ (\varepsilon_{11} + \varepsilon_{22})^2 - 2(1-\nu) (\varepsilon_{11}\varepsilon_{22} - \frac{1-\nu}{4} \varepsilon_{12}^2) + \frac{G'(1-\nu^2)}{E} (\varepsilon_{13}^2 + \varepsilon_{23}^2) + \right. \\ &+ \frac{h^2}{3} [(\kappa_{11} + \kappa_{22})^2 - 2(1-\nu) (\kappa_{11}\kappa_{22} - \kappa_{12}^2)] - 2 [\varepsilon_{11} (e_{11}^0 + \nu e_{22}^0) + \\ &+ \varepsilon_{22} (e_{22}^0 + \nu e_{11}^0) + \frac{1-\nu}{2} \varepsilon_{12} e_{12}^0 + \frac{G'(1-\nu^2)}{E} (\varepsilon_{13} e_{13}^0 + \varepsilon_{23} e_{23}^0)] - \\ &\left. - \frac{2h^2}{3} [\kappa_{11} (\kappa_{11}^0 + \nu \kappa_{22}^0) + \kappa_{22} (\kappa_{22}^0 + \nu \kappa_{11}^0) + 2(1-\nu) \kappa_{12} \kappa_{12}^0] \right\}. \quad (60) \end{aligned}$$

Здесь ε_{ij} , ε_{ij}^0 , κ_{ij}^0 ($i = j = 1, 2$) выражаются формулами (8), (10);

$$\begin{aligned} \varepsilon_{13} &= \gamma_1 + \frac{1}{A_1} \frac{\partial w}{\partial \alpha_1} - k_1 u_1, \quad \varepsilon_{23} = \gamma_2 + \frac{1}{A_2} \frac{\partial w}{\partial \alpha_2} - k_2 v, \\ \kappa_{11} &= \frac{1}{A_1} \frac{\partial \gamma_1}{\partial \alpha_1} + \frac{\gamma_2}{A_1 A_2} \frac{\partial A_1}{\partial \alpha_2}, \quad \kappa_{22} = \frac{1}{A_2} \frac{\partial \gamma_2}{\partial \alpha_2} + \frac{\gamma_1}{A_1 A_2} \frac{\partial A_2}{\partial \alpha_1}, \\ 2\kappa_{12} &= \frac{A_1}{A_2} \frac{\partial}{\partial \alpha_2} \left(\frac{\gamma_1}{A_1} \right) + \frac{A_2}{A_1} \frac{\partial}{\partial \alpha_1} \left(\frac{\gamma_2}{A_2} \right) + k_1 \left(\frac{1}{A_2} \frac{\partial u}{\partial \alpha_2} - \frac{\nu}{A_1 A_2} \frac{\partial A_2}{\partial \alpha_1} \right) + \\ &+ k_2 \left(\frac{1}{A_1} \frac{\partial v}{\partial \alpha_1} - \frac{\nu}{A_1 A_2} \frac{\partial A_1}{\partial \alpha_2} \right), \quad \varepsilon_{j3}^0 = \frac{1}{2h} \int_{-h}^h e_{j3}^0 d\gamma \quad (j = 1, 2), \end{aligned} \quad (61)$$

γ_1 , γ_2 — обобщенные перемещения (углы поворота нормального волокна в плоскости $\alpha_1\gamma$, $\alpha_2\gamma$).

На основании выражения для удельной работы (60) и ее дифференциала [16]

$$\begin{aligned} dV &= N_1 d\varepsilon_{11} + S_{12} d\varepsilon_{12} + N_2 d\varepsilon_{22} + Q_1 d\varepsilon_{13} + Q_2 d\varepsilon_{23} + M_1 d\kappa_{11} + \\ &+ 2H_{12} d\kappa_{12} + M_2 d\kappa_{22} \end{aligned} \quad (62)$$

устанавливаем связь между усилиями, моментами и компонентами деформации срединной поверхности. При этом соотношения для N_i , M_i ($i = 1, 2$), S_{12} , H_{12} совпадают с выражениями (11), а для определения перерезывающих усилий Q_1 , Q_2 имеем формулы

$$Q_1 = \Lambda' (\varepsilon_{13} - \varepsilon_{13}^0), \quad Q_2 = \Lambda' (\varepsilon_{23} - \varepsilon_{23}^0), \quad (63)$$

где $\Lambda' = 2k'G'h$; k' — введенный для этих усилий коэффициент сдвига. Решив соотношения (11), (63) относительно компонент деформации, получим

$$\varepsilon_{ij} = \varepsilon_{ij}^s + \varepsilon_{ij}^0, \quad \kappa_{ij} = \kappa_{ij}^s + \kappa_{ij}^0, \quad (64)$$

где

$$\begin{aligned} \varepsilon_{ii}^s &= \frac{1}{2Eh} (N_i - \nu N_j); \quad \kappa_{ii}^s = \frac{3}{2Eh^3} (M_i - \nu M_j), \quad i \neq j = 1, 2; \\ \varepsilon_{12}^s &= \frac{1+\nu}{Eh} S_{12}; \quad \varepsilon_{13}^s = \frac{Q_1}{\Lambda'}; \quad \varepsilon_{23}^s = \frac{Q_2}{\Lambda'}; \quad \kappa_{12}^s = \frac{3(1+\nu)}{2Eh^3} H_{12}. \end{aligned} \quad (65)$$

Подставляя приведенные соотношения в уравнения равновесия и совместности деформаций [16], аналогично случаю изотропных оболочек получим разрешающие уравнения трансверсально-изотропных оболочек, находящихся под воздействием поля дисторсий. Так, для круговой цилиндрической оболочки в рамках технической теории систему разрешающих уравнений можно представить в форме

$$\begin{aligned} D_1 \nabla^2 \nabla^2 w + (1 - \eta \nabla^2) R \frac{\partial^2 F}{\partial \alpha^2} &= D_1 R^2 \left[\frac{1}{R} \nabla^2 \left(\frac{\partial \varepsilon_{13}^0}{\partial \alpha} + \frac{\partial \varepsilon_{23}^0}{\partial \beta} \right) - \right. \\ &- \frac{\partial^2}{\partial \alpha^2} (\kappa_{11}^0 + \nu \kappa_{22}^0) - \frac{\partial^2}{\partial \beta^2} (\kappa_{22}^0 + \nu \kappa_{11}^0) - (1 - \nu) \frac{\partial^2 \kappa_{12}^0}{\partial \alpha \partial \beta} \left. \right], \quad (66) \\ \frac{1}{D_0 R} \nabla^2 \nabla^2 F - \frac{\partial^2 w}{\partial \alpha^2} &= -R \left(\frac{\partial^2 \varepsilon_{11}^0}{\partial \beta^2} + \frac{\partial^2 \varepsilon_{22}^0}{\partial \alpha^2} - \frac{\partial^2 \varepsilon_{12}^0}{\partial \alpha \partial \beta} \right), \\ \nabla^2 \varphi - \delta^2 \varphi &= \eta R^2 (1 - \nu) \left[\frac{\partial^2}{\partial \alpha \partial \beta} (\kappa_{11}^0 - \kappa_{22}^0) + \right. \\ &+ \left. \frac{1}{2} \left(\frac{\partial^2}{\partial \beta^2} - \frac{\partial^2}{\partial \alpha^2} \right) \kappa_{12}^0 \right] + R \left(\frac{\partial \varepsilon_{23}^0}{\partial \alpha} - \frac{\partial \varepsilon_{13}^0}{\partial \beta} \right). \end{aligned}$$

При этом усилия и моменты определяются по формулам

$$\begin{aligned} N_1 &= \frac{1}{R^2} \frac{\partial^2 F}{\partial \beta^2}, \quad N_2 = \frac{1}{R^2} \frac{\partial^2 F}{\partial \alpha^2}, \quad S = -\frac{1}{R^2} \frac{\partial^2 F}{\partial \alpha \partial \beta}, \\ M_1 &= -D_1 \left[\frac{1}{R} \left(\frac{\partial \gamma_1}{\partial \alpha} + \nu \frac{\partial \gamma_2}{\partial \beta} \right) - \kappa_{11}^0 - \nu \kappa_{22}^0 \right], \\ M_2 &= -D_1 \left[\frac{1}{R} \left(\frac{\partial \gamma_2}{\partial \beta} + \nu \frac{\partial \gamma_1}{\partial \alpha} \right) - \kappa_{22}^0 - \nu \kappa_{11}^0 \right], \\ H &= \frac{1-\nu}{2} D_1 \left[\frac{1}{R} \left(\frac{\partial \gamma_1}{\partial \beta} + \frac{\partial \gamma_2}{\partial \alpha} \right) - \kappa_{12}^0 \right], \\ Q_1 &= \frac{D_1}{\varepsilon} \left(\gamma_1 + \frac{1}{R} \frac{\partial w}{\partial \alpha} - \varepsilon_{13}^0 \right), \quad Q_2 = \frac{D_1}{\varepsilon} \left(\gamma_2 + \frac{1}{R} \frac{\partial w}{\partial \beta} - \varepsilon_{23}^0 \right), \end{aligned} \quad (67)$$

где

$$\begin{aligned} \gamma_1 &= -\frac{1}{R} \frac{\partial \Gamma}{\partial \alpha} + \frac{1}{R} \frac{\partial \Phi}{\partial \beta} - \eta R \left[\frac{\partial}{\partial \alpha} (\kappa_{11}^0 + \nu \kappa_{22}^0) + \frac{(1-\nu)}{2} \frac{\partial \kappa_{12}^0}{\partial \beta} - \frac{\varepsilon_{13}^0}{\eta R} \right]; \\ \gamma_2 &= -\frac{1}{R} \frac{\partial \Gamma}{\partial \beta} - \frac{1}{R} \frac{\partial \Phi}{\partial \alpha} - \eta R \left[\frac{\partial}{\partial \beta} (\kappa_{22}^0 + \nu \kappa_{11}^0) + \frac{(1-\nu)}{2} \frac{\partial \kappa_{12}^0}{\partial \alpha} - \frac{\varepsilon_{23}^0}{\eta R} \right]; \\ \Gamma &= w + \eta \nabla^2 w - \frac{R \eta^2}{D_1} \frac{\partial^2 F}{\partial \alpha^2} - R \eta \left(\frac{\partial \varepsilon_{13}^0}{\partial \alpha} + \frac{\partial \varepsilon_{23}^0}{\partial \beta} \right); \\ \delta^2 &= \frac{2}{\eta(1-\nu)}; \quad \eta = \frac{\varepsilon}{R^2}; \quad \varepsilon = \frac{h^2}{3k'(1-\nu^2)} \frac{E}{G'}. \end{aligned}$$

Первые два уравнения (66) можно представить в ином виде, если ввести в рассмотрение потенциальную функцию $\Psi(\alpha, \beta)$ следующим образом:

$$F = \frac{\partial^2}{\partial \alpha^2} \Psi, \quad w = \frac{1}{D_0 R} \nabla^2 \nabla^2 \Psi + \Psi^0, \quad (68)$$

Тогда, подставляя эти формулы во второе уравнение (66), для определения функции Ψ^0 получаем соотношение

$$\frac{\partial^2 \Psi^0}{\partial \alpha^2} = R \left(\frac{\partial^2 \varepsilon_{11}^0}{\partial \beta^2} + \frac{\partial^2 \varepsilon_{22}^0}{\partial \alpha^2} - \frac{\partial^2 \varepsilon_{12}^0}{\partial \alpha \partial \beta} \right). \quad (69)$$

На основании первого уравнения (66) для определения функции Ψ получаем разрешающее уравнение

$$\nabla^2 \nabla^2 \nabla^2 \nabla^2 \Psi + c^{-2} (1 - \eta \nabla^2) \frac{\partial^4 \Psi}{\partial \alpha^4} = D_0 R^3 \left[\frac{1}{R} \nabla^2 \left(\frac{\partial \varepsilon_{13}^0}{\partial \alpha} + \frac{\partial \varepsilon_{23}^0}{\partial \beta} \right) - \frac{\partial^2}{\partial \alpha^2} (\varkappa_{11}^0 + \nu \varkappa_{22}^0) - \frac{\partial^2}{\partial \beta^2} (\varkappa_{22}^0 + \nu \varkappa_{11}^0) - (1 - \nu) \frac{\partial^2 \varkappa_{12}^0}{\partial \alpha \partial \beta} \right] - D_0 R \nabla^2 \nabla^2 \Psi^0. \quad (70)$$

Рассмотрим упругое равновесие тонкой трансверсально-изотропной оболочки с системой сквозных разрезов, произвольным образом расположенных вдоль координатных линий. Допустим, что оболочка находится под действием внешней нагрузки и к противоположным берегам разрезов приложены равные по величине и противоположно направленные усилия и моменты. Если к берегам разрезов приложена произвольная нагрузка, то, как и в случае плоской задачи [15], рассматриваемую задачу можно свести к случаю самоуравновешенной нагрузки на берегах разрезов и несамуравновешенной на месте разреза в сплошной оболочке. Напряженное состояние в сплошной оболочке при произвольной нагрузке будем считать известным.

Граничные условия на контуре разреза l_{pv} , расположенного вдоль линии $\alpha_1 = \alpha_p^0$, в этом случае будут такими:

$$N_1^+ = N_1^- = \hat{N}_1^{pv}(\alpha_2), \quad S_{12}^+ + k_2 H_{12}^+ = S_{12}^- + k_2 H_{12}^- = \hat{S}^{pv}(\alpha_2), \quad (71)$$

$$Q_1^+ = Q_1^- = \hat{Q}_1^{pv}(\alpha_2), \quad M_1^+ = M_1^- = \hat{M}_1^{pv}(\alpha_2), \quad H_{12}^+ = H_{12}^- = \hat{H}_{12}^{pv}(\alpha_2).$$

Аналогично на контуре разреза q_{rs} , расположенного вдоль линии $\alpha_2 = \alpha_r$,

$$N_2^+ = N_2^- = \hat{N}_2^{rs}(\alpha_1), \quad S_{12}^+ + k_1 H_{12}^+ = S_{12}^- + k_1 H_{12}^- = \hat{S}^{rs}(\alpha_1), \quad (72)$$

$$Q_2^+ = Q_2^- = \hat{Q}_2^{rs}(\alpha_1), \quad M_2^+ = M_2^- = \hat{M}_2^{rs}(\alpha_1), \quad H_{12}^+ = H_{12}^- = \hat{H}_{12}^{rs}(\alpha_1).$$

Здесь и далее обозначения те же, что и в случае изотропной оболочки.

Учитывая, что обобщенные смещения $u, v, w, \gamma_1, \gamma_2$ претерпевают скачки при переходе через линии разрезов, и рассматривая их как обобщенные функции, на основании соотношений (8), (10), (11), (63) с учетом условий (71), (72) для компонентов тензора дисторсий получаем выражение

$$\begin{aligned} \varepsilon_{11}^0 &= \sum_1 \frac{1}{A_1^p} [u(\alpha_2)]_{l_{pv}} \delta(\alpha_1 - \alpha_p^0), \quad \varepsilon_{22}^0 = \sum_2 \frac{1}{A_2^r} [v(\alpha_1)]_{q_{rs}} \delta(\alpha_2 - \alpha_r^0), \\ \varepsilon_{12}^0 &= \sum_1 \frac{1}{A_1^p} [v(\alpha_2)]_{l_{pv}} \delta(\alpha_1 - \alpha_p^0) + \sum_2 \frac{1}{A_2^r} [u(\alpha_1)]_{q_{rs}} \delta(\alpha_2 - \alpha_r^0), \\ \varepsilon_{13}^0 &= \sum_1 \frac{1}{A_1^p} [w(\alpha_2)]_{l_{pv}} \delta(\alpha_1 - \alpha_p^0), \quad \varepsilon_{23}^0 = \sum_2 \frac{1}{A_2^r} [w(\alpha_1)]_{q_{rs}} \delta(\alpha_2 - \alpha_r^0), \\ \varkappa_{11}^0 &= \sum_1 \frac{1}{A_1^p} [\gamma_1(\alpha_2)]_{l_{pv}} \delta(\alpha_1 - \alpha_p^0), \quad \varkappa_{22}^0 = \sum_2 \frac{1}{A_2^r} [\gamma_2(\alpha_1)]_{q_{rs}} \delta(\alpha_2 - \alpha_r^0), \\ 2\varkappa_{12}^0 &= \sum_1 \frac{1}{A_1^p} \{ [\gamma_2(\alpha_2)]_{l_{pv}} + k_2^p [v(\alpha_2)]_{l_{pv}} \} \delta(\alpha_1 - \alpha_p^0) + \\ &+ \sum_2 \frac{1}{A_2^r} \{ [\gamma_1(\alpha_1)]_{q_{rs}} + k_1^r [u(\alpha_1)]_{q_{rs}} \} \delta(\alpha_2 - \alpha_r^0). \end{aligned}$$

С использованием этих соотношений аналогично случаю изотропной оболочки задачу об упругом равновесии трансверсально-изотропной оболочки с k сквозными разрезами сводим к системе $5k$ сингулярных интегральных уравнений для нахождения функций, определяющих скачки обобщенных смещений.

Интегральные уравнения задачи о напряженном состоянии трансверсально-изотропной цилиндрической и пологой сферической оболочки с разрезами (трещинами) приведены в работах [11, 14].

Отметим, что использование сдвиговой модели в теории изотропных оболочек с разрезами позволяет уточнить результаты исследований, полученные на базе классической теории оболочек. Последнее достигается путем более точного удовлетворения граничным условиям на берегах разрезов, когда вместо принятого в классической теории условия на обобщенное в смысле Кирхгофа перерезывающее усилие удовлетворяются физически естественные граничные условия на перерезывающие усилия и крутящий момент.

СПИСОК ЛИТЕРАТУРЫ

1. *Владимиров В. С.* Обобщенные функции в математической физике.— М.: Наука, 1976.— 280 с.
2. *Власов В. З.* Избранные труды.— М.: Изд-во АН СССР, 1962.— Т. 1. 528 с.
3. *Гольденвейзер А. Л.* Теория упругих тонких оболочек.— М.: Наука, 1976.— 512 с.
4. *Даревский В. М.* Решение некоторых вопросов теории цилиндрической оболочки.— Прикл. математика и механика, 1952, 16, вып. 2, с. 159—194.
5. *Иванов В. В.* Теория приближенных методов и ее применение к численному решению сингулярных уравнений.— Киев: Наук. думка, 1968.— 288 с.
6. *Каландия А. И.* Замечание о креплении полуплоскости стрингером конечной длины.— В кн.: Механика деформируемых тел и конструкций. М.: Машиностроение, 1975, с. 211—215.
7. *Кренер Э.* Общая континуальная теория дислокаций и собственных напряжений.— М.: Мир, 1965.— 104 с.
8. *Новацкий В.* Теория упругости.— М.: Мир, 1975.— 872 с.
9. *Новожилов В. В.* Теория тонких оболочек.— Л.: Судпромгиз, 1962.— 432 с.
10. *Осадчук В. А.* Напряжения в замкнутой цилиндрической оболочке с системой коллинеарных трещин.— Мат. методы и физ.-мех. поля, 1978, № 7, с. 38—42.
11. *Осадчук В. А., Николишин М. М.* Напряженное состояние ослабленной трещиной замкнутой трансверсально-изотропной цилиндрической оболочки с упругим наполнителем.— Докл. АН УССР. Сер. А, 1975, № 7, с. 619—623.
12. *Осадчук В. А., Подстригач Я. С.* К определению напряженного состояния в замкнутой цилиндрической оболочке и бесконечной пластинке с трещинами.— Механика твердого тела, 1973, № 3, с. 69—78.
13. *Осадчук В. А., Федюк Е. М.* Система произвольно ориентированных трещин в пологой сферической оболочке.— Докл. АН УССР. Сер. А, 1975, № 8, с. 711—715.
14. *Осадчук В. А., Федюк Е. М.* Интегральные уравнения задачи о напряженном состоянии трансверсально-изотропной пологой сферической оболочки с трещиной.— Докл. АН УССР. Сер. А, 1975, № 2, с. 141—145.
15. *Панасюк В. В., Саврук М. П., Дацьшин А. П.* Распределение напряжений около трещин в пластинках и оболочках.— Киев: Наук. думка, 1976.— 444 с.
16. *Пелех Б. Л.* Теория оболочек с конечной сдвиговой жесткостью.— Киев: Наук. думка, 1973.— 248 с.
17. *Підстригач Я. С., Ярема С. Я.* Температурні напруження в оболонках.— К.: Вид-во АН УРСР, 1961.— 212 с.
18. *Попов Г. Я.* Об интегральных уравнениях теории упругости с разностными и суммарными ядрами.— Прикл. математика и механика, 1970, 34, вып. 4, с. 603—619.
19. *Черных К. Ф.* Линейная теория оболочек. Т. 1.— Л.: Изд-во Ленингр. ун-та, 1962.— 274 с.

Институт прикладных проблем
механики и математики АН УССР

Поступила в редколлегию
09.02.78

УДК 539.377

Г. С. Кит, И. П. Лысый

О ТЕРМОУПРУГОМ СОСТОЯНИИ ПОЛОСЫ С ТРЕЩИНАМИ

В работах [3, 4] рассмотрены задачи о термоупругом состоянии широкой и узкой полос с трещиной, когда грани полос свободны от усилий. В настоящей работе определяются коэффициенты интенсивности напряжений в широкой полосе с продольными трещинами, когда полоса зажата между двумя абсолютно жесткими гладкими основаниями либо жестко сцеплена с ними.